

# **Knihovna pro určení vzájemně podobných fotografií vhodného pro produkční provoz**

Bc. Dobroslav Pelc

---

Diplomová práce  
2018



Univerzita Tomáše Bati ve Zlíně  
Fakulta aplikované informatiky

\*\*\* Nascanované zadání, strana 1 \*\*\*

\*\*\* Nascanované zadání, strana 2 \*\*\*

**Prohlašuji, že**

- beru na vědomí, že odevzdáním diplomové práce souhlasím se zveřejněním své práce podle zákona č. 111/1998 Sb. o vysokých školách a o změně a doplnění dalších zákonů (zákon o vysokých školách), ve znění pozdějších právních předpisů, bez ohledu na výsledek obhajoby;
- beru na vědomí, že diplomové práce bude uložena v elektronické podobě v univerzitním informačním systému dostupná k prezenčnímu nahlédnutí, že jeden výtisk diplomové práce bude uložen v příruční knihovně Fakulty aplikované informatiky Univerzity Tomáše Bati ve Zlíně a jeden výtisk bude uložen u vedoucího práce;
- byl/a jsem seznámen/a s tím, že na moji diplomovou práci se plně vztahuje zákon č. 121/2000 Sb. o právu autorském, o právech souvisejících s právem autorským a o změně některých zákonů (autorský zákon) ve znění pozdějších právních předpisů, zejm. § 35 odst. 3;
- beru na vědomí, že podle § 60 odst. 1 autorského zákona má UTB ve Zlíně právo na uzavření licenční smlouvy o užití školního díla v rozsahu § 12 odst. 4 autorského zákona;
- beru na vědomí, že podle § 60 odst. 2 a 3 autorského zákona mohu užít své dílo – diplomovou práci nebo poskytnout licenci k jejímu využití jen připouští-li tak licenční smlouva uzavřená mezi mnou a Univerzitou Tomáše Bati ve Zlíně s tím, že vyrovnání případného přiměřeného příspěvku na úhradu nákladů, které byly Univerzitou Tomáše Bati ve Zlíně na vytvoření díla vynaloženy (až do jejich skutečné výše) bude rovněž předmětem této licenční smlouvy;
- beru na vědomí, že pokud bylo k vypracování diplomové práce využito softwaru poskytnutého Univerzitou Tomáše Bati ve Zlíně nebo jinými subjekty pouze ke studijním a výzkumným účelům (tedy pouze k nekomerčnímu využití), nelze výsledky diplomové práce využít ke komerčním účelům;
- beru na vědomí, že pokud je výstupem diplomové práce jakýkoliv softwarový produkt, považují se za součást práce rovněž i zdrojové kódy, popř. soubory, ze kterých se projekt skládá. Neodevzdání této současti může být důvodem k neobhájení práce.

**Prohlašuji,**

- že jsem na diplomové práci pracoval samostatně a použitou literaturu jsem citoval. V případě publikace výsledků budu uveden jako spoluautor.
- že odevzdaná verze diplomové práce a verze elektronická nahraná do IS/STAG jsou totožné.

Ve Zlíně

.....

podpis autora

## **ABSTRAKT**

Cílem této práce je analýza možností pro určení vzájemně podobných fotografií. Na základě analýzy, srovnávacích a zátěžových testů je vybrán nejvhodnější návrh řešení pro potřeby reálného produkčního provozu. Výsledná komponenta je realizována formou distribuované služby.

Klíčová slova: podobnost, zastupitelnost, distribuce, křížová korelace, konvoluce, Fourierova transformace, světlostní matice

## **ABSTRACT**

The aim of this work is to analyze the possibilities for identifying similar photos. Based on analysis, benchmarking and stress testing, the most suitable solution design is chosen for real production use. The final component is implemented in the form of a distributed service.

Keywords: similarity, replaceability, distribution, cross corelation, convolution, Fourier transform, brightness matrix

Rád bych poděkoval především vedoucímu mé diplomové práce Ing. Tomášovi Dulíkovi, Ph.D. za odborné vedení, věnovaný čas a poskytnutí cenných rad a zkušeností. Dále pak mé poděkování patří společnosti STUDENT AGENCY k.s. za poskytnutí zázemí, pomoci při řešení problémů a materiálů, které umožnili vypracování této práce. Na závěr bych také rád poděkoval mé rodině, která byla vždy ochotná pomoci a při mému studiu mě vždy podporovala.

### **Moto**

Albert Einstein: „*Pokud matematika popisuje realitu, není přesná. A pokud je přesná, nepopisuje realitu.*“

## OBSAH

<b>ÚVOD .....</b>	<b>10</b>
<b>I TEORETICKÁ ČÁST .....</b>	<b>10</b>
<b>1 KLASIFIKACE ŘEŠENÝCH OBLASTÍ .....</b>	<b>12</b>
1.1 KONSTRUKTIVNÍ ZMĚNY FOTOGRAFIE.....	12
1.1.1 Návrh řešení .....	12
1.1.2 Oblast zájmu .....	12
1.2 DESTRUKTIVNÍ ZMĚNY FOTOGRAFIE .....	12
1.2.1 Návrh řešení .....	13
1.2.2 Oblast zájmu .....	13
1.3 KOMBINACE KONSTRUKTIVNÍCH A DESTRUKTIVNÍCH ZMĚN .....	13
1.3.1 Návrh řešení .....	13
1.3.2 Oblast zájmu .....	13
1.4 VÝBĚR REPREZENTATIVNÍHO VZORKU.....	13
1.4.1 Návrh řešení .....	13
1.4.2 Oblast zájmu .....	14
<b>2 KOEFICIENT PODOBNOSTI DVOU FOTOGRAFIÍ .....</b>	<b>15</b>
2.1 ZMĚNA VELIKOSTI FOTOGRAFIE .....	15
2.2 PŘEVOD NA SVĚTLOSTNÍ MATICI .....	16
2.3 PŘEVOD DO-Z VLNOVÉHO SPEKTRA .....	17
2.4 KŘÍŽOVÁ KORELACE .....	17
2.5 VÝPOČET VÝSLEDNÉHO KOEFICIENTU .....	19
<b>3 KOEFICIENT ZASTUPITELNOSTI DVOU FOTOGRAFIÍ .....</b>	<b>20</b>
3.1 DISKRÉTNÍ 2D KONVOLUCE .....	20
3.2 KONVOLUCE A VOLBA JÁDRA .....	20
<b>II ANALYTICKÁ ČÁST .....</b>	<b>21</b>
<b>4 BRAINSTORMING .....</b>	<b>23</b>
4.1 AKADEMICKÝ KRUH .....	23
4.2 PROFESNÍ KRUH .....	23
<b>5 DIFERENČNÍ ANALÝZA (GAP ANALÝZA) .....</b>	<b>24</b>
5.1 POPIS SOUČASNÉHO STAVU.....	24
5.2 POPIS CÍLOVÉHO STAVU .....	24
5.2.1 Nefunkční požadavky .....	24
5.3 ROZDÍLY .....	24

5.4	NÁVRH VARIANT K DOSAŽENÍ CÍLE .....	25
5.4.1	Výpočet KoP a KoZ na CPU produkčního serveru .....	25
5.4.2	Výpočet KoP a KoZ na CPU produkčního serveru s paralelizací na GPU.....	25
5.4.3	Výpočet koeficientů na PC farmě .....	25
5.5	ZHODNOCENÍ VARIANT .....	25
5.5.1	Výpočet KoP a KoZ na CPU produkčního serveru .....	26
5.5.2	Výpočet KoP a KoZ na CPU produkčního serveru s paralelizací na GPU.....	26
5.5.3	Výpočet koeficientů na PC farmě .....	27
<b>6</b>	<b>BENCHMARKING.....</b>	<b>28</b>
6.1	TESTOVACÍ PROSTŘEDÍ .....	28
6.1.1	Použitý HW .....	28
6.1.2	Použitý SW .....	28
6.2	VÝSLEDKY TESTOVÁNÍ.....	31
6.2.1	Výpočet koeficientů na CPU .....	32
6.2.2	Výpočet koeficientů na CPU s paralelizací na GPU .....	32
6.2.3	Výpočet koeficientů na PC farmě .....	33
<b>III</b>	<b>PROJEKTOVÁ ČÁST .....</b>	<b>34</b>
<b>7</b>	<b>PŘÍPRAVA PROJEKTU.....</b>	<b>36</b>
7.1	HW ARCHITEKTURA .....	36
7.1.1	Pohled na aktuální HW mapu.....	36
7.1.2	Pohled na plánovanou HW mapu .....	36
7.2	PОŽАДАВКЫ .....	37
7.2.1	Funkční požadavky .....	37
7.2.2	Nefunkční požadavky .....	37
7.3	PŘÍPADY POUŽITÍ .....	37
7.3.1	Aktéři .....	37
7.3.2	Případy užití.....	38
7.4	MODELY .....	38
7.4.1	Model tříd .....	38
7.4.2	Model služeb.....	39
7.5	SEKVENČNÍ DIAGRAM DISTRIBUOVANÉ SLUŽBY .....	39
<b>8</b>	<b>SERVEROVÁ STRANA DISTRIBUOVANÉ SLUŽBY .....</b>	<b>41</b>
8.1	DATABELIZACE FOTOGRAFIÍ .....	41
8.1.1	Výpočet poměrného počtu hran .....	41

8.2	FRONTA NEZPRACOVANÝCH OBRÁZKŮ .....	46
8.3	SERVLET PRO STAŽENÍ OBRÁZKŮ .....	46
8.4	SOAP API .....	47
8.4.1	Autentizace.....	47
8.4.2	Distribuce požadavků na výpočet KoP .....	48
<b>9</b>	<b>KLIENTSKÁ STRANA DISTRIBUOVANÉ SLUŽBY .....</b>	<b>51</b>
9.1	DISTRIBUOVANÝ VÝPOČET KoP .....	51
<b>ZÁVĚR .....</b>	<b>54</b>	
<b>SEZNAM POUŽITÉ LITERATURY .....</b>	<b>57</b>	
<b>SEZNAM POUŽITÝCH SYMBOLŮ A ZKRATEK .....</b>	<b>61</b>	
<b>SEZNAM OBRÁZKŮ .....</b>	<b>62</b>	
<b>SEZNAM TABULEK .....</b>	<b>64</b>	
<b>SEZNAM ZDROJOVÉHO KÓDU .....</b>	<b>65</b>	
<b>SEZNAM PŘÍLOH .....</b>	<b>66</b>	

## ÚVOD

Práce se zaměřuje na strojové zpracování rastrové grafiky. První kapitola se věnuje klasifikaci problémů a vybraným technikám vhodným k jejich řešení, jako je např. Fourierova transformace, křížová korelace nebo konvoluce. Další kapitola naváže analýzou potřeb všech zainteresovaných stran. Po analýze bude následovat návrh modulární architektury řešení. Zde bude kláden důraz především na aplikované techniky. V poslední kapitole bude zhodnocen výsledek práce.

Cílem této práce je analyzovat možnosti, porovnat je srovnávacím testem. Nejlepší varianta bude realizována formou prototypu distribuované služby, podrobena dalším testům a odladěna pro produkční provoz. Výsledná komponenta musí plnit všechny nefunkční požadavky a maximum funkčních požadavků.

Práce je limitována možnostmi současného produkčního prostředí. Hledá způsoby jak optimálně využít hrubou sílu produkčního prostředí, která je obecně nevhodná pro operace s rastrovou grafikou. Hlavní myšlenkou této práce je porovnat možnosti paralelizace strojového zpracování rastrové grafiky na GPU s finanční dostupností tohoto řešení pro produkční provoz.

# I. TEORETICKÁ ČÁST

## 1 Klasifikace řešených oblastí

Pro porovnání dvou fotografií a jejich vzájemné vyhodnocení jako podobné či nikoliv bude zaveden koeficient podobnosti fotografií (dále jen KoP). Postupně budou popsány všechny silné i slabé stránky pro možnosti výpočtu KoP. Základem klasifikace je vymezení rozdílů mezi vzorovou a referenční fotografií, které definují konstruktivní a destruktivní změny.

### 1.1 Konstruktivní změny fotografie

Konstruktivní změny fotografie jsou takové změny, které jsou viditelné pro lidské oko, avšak nemění zásadně charakter obrázku pro strojové zpracování. Možné změny (případně jejich kombinace) jsou rozvedeny níže.

#### 1.1.1 Návrh řešení

Pro porovnání dvou podobných fotografií, které obsahují pouze konstruktivní změny, plně postačí křížová korelace, která bude urychlena (v rámci optimalizace HW času) pomocí diskrétní Fourierovy transformace [10].

#### 1.1.2 Oblast zájmu

Tuto numerickou metodou lze detektovat většinu nejčastějších záměrných modifikací fotografií (např. automatické doostření a následné uložení jako kopie). Lze sem zahrnout jak změny vlastností vázané na původní fotografiu, tak drobné změny v původním obsahu fotografie.

#### *Změny vlastností*

- Změna sytosti barev
- Změna kontrastu
- Změna jasu

#### *Změny obsahu*

- Vodotisk
- Logo
- Šum

### 1.2 Destruktivní změny fotografie

Destruktivní změny fotografie jsou viditelné pro lidské oko, ale pouze vjemem lidského oka je často problém tyto fotografie bezpečně prohlásit za podobné. Ještě horší situace je

u strojového zpracování, pro které se výrazně mění charakter porovnávaných fotografií.

### 1.2.1 Návrh řešení

Výpočet Hausdorfovy vzdálenosti mezi konvexními polyedry, které reprezentující hrany v obrazu [15].

### 1.2.2 Oblast zájmu

- Změna komprese (rozmazená fotografie)
- Změny rozlišení
  - Ořez (v jedné nebo obou dimenzích)
  - Deformace (v jedné nebo obou dimenzích)

## 1.3 Kombinace konstruktivních a destruktivních změn

Kombinace konstruktivních a destruktivních změn je vždy potřeba vyhodnotit nad konkrétním případem. Platí také, že jsou velmi obtížně řešitelné. V závislosti na míře změn lze často rozpoznat KoP stejně jako u čistě konstruktivních změn.

### 1.3.1 Návrh řešení

Redukce fotografie na její prahovou velikost jako příprava na křížovou korelaci viz konstruktivní změny [14].

### 1.3.2 Oblast zájmu

- Asymetrická změna obou stran s čímkoliv
- Změna kvality v důsledku zhoršení komprese s čímkoliv
- Logo nebo vodotisk v kombinaci s předcházejícími

## 1.4 Výběr reprezentativního vzorku

Pro skupinu vzájemně si podobných fotografií vybereme nejvhodnějšího kandidáta, který bude následně ostatní fotografie zastupovat. Jde o experimentální postup.

### 1.4.1 Návrh řešení

Bude zaveden koeficient zastupitelnosti (dále jen KoZ), který je zjednodušeně určen jako  $VELIKOST * OSTROST + JAS$ . Přičemž platí, že vyšší hodnota koeficientu zastupitelnosti znamená kvalitnější fotografiю (nikoliv na oko hezčí fotografiю). Reprezentativní vzorek bude fotografie, která bude vybraná ze skupiny podobných fotografií na základě KoP, s nejvyšším KoZ.

#### 1.4.2 Oblast zájmu

*Střední hodnota jasu* je určena pomocí světlostní matice. Jedná se pouze o zohlednění, zda fotografie není příliš jasná nebo tmavá. Jde o jednoduchý algoritmus. Na výsledek nemá zásadní vliv.

*Poměrný počet hran* slouží jako test rozmazanosti fotografie. K realizaci se používá konvoluční matice (více v samostatné kapitole věnované této problematice) s vhodným jádrem typu horní i dolní propust (s celkovým součtem 0). Na výsledek má největší dopad.

*Rozlišení fotografie* je bráno jako klasická velikost fotografie v px (větší  $\Leftrightarrow$  lepší).

## 2 Koeficient podobnosti dvou fotografií

Jde o základní ukazatel podobnosti dvou fotografií. KoP leží na intervalu  $<0,1>$ . Přičemž hodnoty blížící se 1 symbolizují podobné fotografie. Interval podobnosti byl na základě testovacích pokusů stanoven na  $<0,07,1)$ . Hodnota 1 znamená duplicitní fotografii. Byla z intervalu vyloučena, jelikož jsou fotografie nejprve unifikovány pomocí otisku MD5 [6]. Výpočet KoP provedeme v šesti krocích, z čehož jsou čtyři kroky přípravné (optimalizační) a pouze dva kroky reálně ovlivňují výsledný KoP.

1. Změna velikosti fotografie
2. Převod na světlostní matici
3. Převod do vlnového spektra
4. Křížová korelace (Cross correlation method)
5. Převod zpět z vlnového spektra
6. Výpočet KoP z výsledné matice

Body 1–3 slouží jako přípravné a aplikují se na obě fotografie (vzorová a referenční). Do bodu 4 tedy vstupují dvě matice (pro každou fotografiю jedna). Výstupem 4. bodu je již jen jedna matice, která je v bodě 6 vyhodnocena do výsledného KoP.

### 2.1 Změna velikosti fotografie

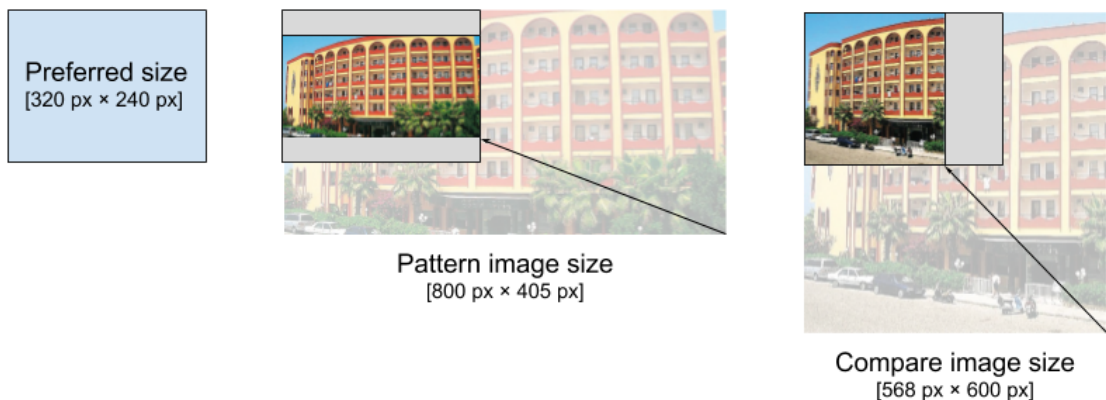
Jedná se o nezbytný přípravný krok, jehož cílem je sjednotit u obou fotografií počet bodů a tím také počet prvků v maticích, které vzniknou v následujícím kroku výpočtu KoP. Jako referenční velikost byla stanovena

- Šířka: 320 px,
- Výška: 240 px,

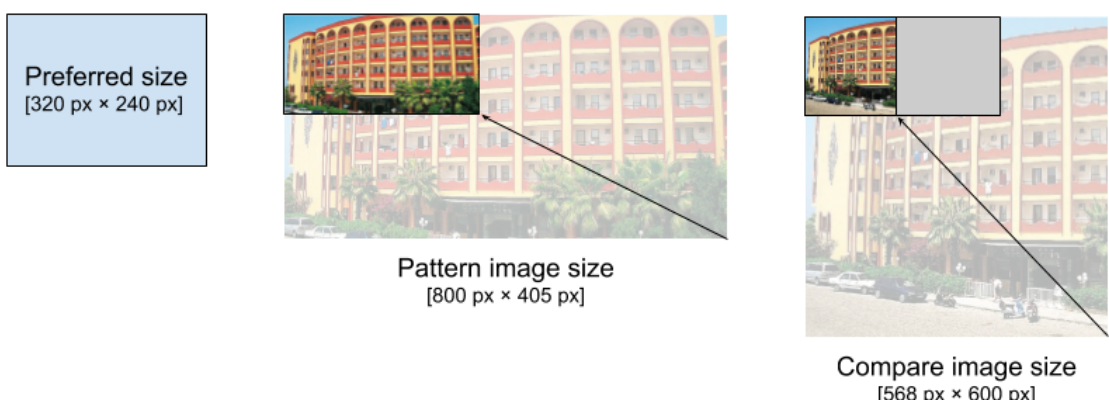
které jsou nevhodnějším kompromisem mezi relevancí výsledku a HW časem nutným k jeho zpracování.

Změna velikosti vzorové fotografie na  $[320 \times ?]$  nebo  $[? \times 240]$  se provádí v závislosti na delší straně. Kratší strana je dopočítána podle původního poměru stran. Výsledný rozměr není doplněn nulami na plnou referenční velikost  $[320 \times 240]$ . Vzorová fotografie tedy určuje velikost, na kterou musíme upravit referenční fotografii. Pokud má referenční fotografie jiný poměr stran, bude doplněna nulami, aby nevznikala prázdná místa.

Takto připravené fotografie nejsou při dalším zpracování komutativní, pokud mají vzájemně jiný poměr stran. V důsledku to znamená, že se musí porovnat fotografie v obou směrech (jak vzorová vůči referenční, tak referenční vůči vzorové). Situaci ukažují příklady na Obr. 2.1 a Obr. 2.2.



Obr. 2.1 Statický scaling obrázků (komutativní)



Obr. 2.2 Dynamický scaling obrázků (diskomutativní)

Přesto, že je tento proces HW dražší, než jeho komutativní varianta, získáme díky tomu řádově lepší relevanci výsledků (zejména pokud je jedna ze dvou fotografií velmi nekvalitní, případně má nižší nativní rozlišení, než je referenční).

## 2.2 Převod na světlostní matici

Světlostní matice představuje fotografiu ve formátu rastrové bitmapy (někdy též šedotónový obraz; v anglicky psaných textech k nalezení pod názvem brightness-matrix). Formálně je to dvourozměrná diskrétní veličina, reprezentovaná maticí druhého rádu [7]. Každý bod původní fotografie - pixel [8] (dále jen px) je z RGB [9] hodnot převeden na hodnotu intenzity jasové funkce.

Původní px je reprezentován jako tříprvkové pole s hodnotami na intervalu  $< 0, 255 >$ .

- R => red,
- G => green,
- B => blue,

Výsledná hodnota intenzity jasové funkce px se spočítá jako střední hodnota z hodnot jednotlivých složek px (R, G a B). Jak napovídá interval možných hodnot, jeden px převedený na prvek světlostní matice zabírá v operační paměti 1 Byte (1 Byte = 8 bit => osmibitová barevná hloubka => 256 stupňů šedi). Na jednu plnou referenční fotografií je tedy potřeba 75 kB.

### 2.3 Převod do z vlnového spektra

Převodem do vlnového spektra dosáhneme zajímavé výkonnostní optimalizace [10]. Kdybychom tento krok z celého procesu výpočtu KoP vynechali (stejně jako následně nezbytný převod zpět z vlnového spektra), museli bychom udělat křížovou korelací v normálním spektru. Tzn.  $O(n^4)$  operací, kde  $n$  je velikost strany čtvercové matice.

Pokud ale nejprve provedeme Diskrétní Fourierovu transformaci (DFT) pro převod do vlnového spektra, až následně křížovou korelací a nakonec Zpětnou Fourierovu transformaci (IFT), se ušetří jeden řád hodnoti počtu operací. Bude potřeba  $O(n^3 * \log n)$  operací. Řád hodnoti předpokládá ve výpočtu čtvercovou fotografií (reálná fotografie je obdélníková => řád hodnoti je závislý na dvou proměnných)

- Klasické spektrum:  $200^4 = 1.6 * 10^9$  operací
- Vlnové spektrum:  $200^3 * \log 200 = 6.1 * 10^7$  operací

### 2.4 Křížová korelace

Korelace je nejdůležitější krok celého výpočtu KoP. Umožní pomocí jednoduchých matematických operací rozhodnout, zda jsou světlostní matice vzorové a referenční fotografie podobné. Míra podobnosti je vyjádřena hodnotami korelačních koeficientů sestavených do jedné matice (zatím ještě ve vlnovém spektru). Čím více se výsledné hodnoty blíží 1, tím více si jsou fotografie podobné v daném bodě.

Celý proces není citlivý na konstruktivní změny. Dokáže tedy podobnost vyhodnotit bez ohledu na změnu sytosti barev, kontrastu či jasu. Stejně tak výsledek není ovlivněn přidáním vodotisku nebo šumem ve fotografii. Přidání loga do fotografie již sice sníží KoP, ale pokud není logo přes polovinu fotografie, je stále bezpečně rozpoznána jako podobná či nikoliv.

Formálně je korelace zejména statistický pojem, který označuje vzájemný lineární vztah mezi znaky nebo veličinami. Míra korelace je daná korelačním koeficientem [11].  
Vzorec pro výpočet:  $\rho_{A,B} = \frac{(A - \mu_A) \times (B - \mu_B)}{\sigma_A \sigma_B}$

Na první pohled se může zdát složitý, ale skrývá v sobě tři jednoduché ale důležité kroky.

1. K maticím  $A$  a  $B$  se spočítá rozptyl  $\sigma_A, \sigma_B$  a střední hodnota  $\mu_A, \mu_B$ .

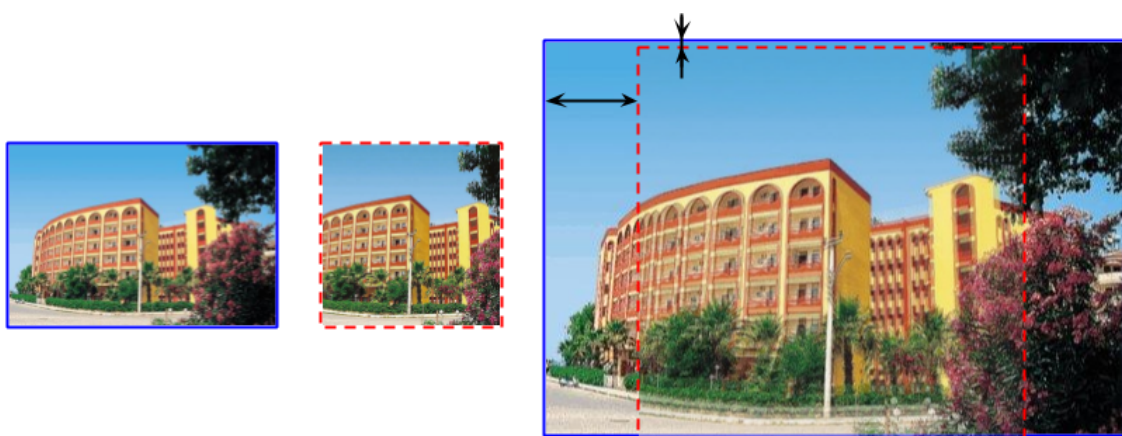
2. Odečtením střední hodnoty od matice  $A - \mu_A$ ,  $B - \mu_B$  je dosaženo **invariace nastavení jasu**.
3. Dělením rozptyly  $\sigma_A\sigma_B$  je zajištěna **invariace nastavení kontrastu**.

Za předpokladu, že objekty na porovnávaných fotografiích nejsou vůči sobě v prostoru posunuty, poskytuje korelační matice odpověď na otázku, zda jsou si dvě fotografie podobné. V praxi ale tento model příliš nenastává. Naopak je velmi časné, že je porovnáván např. výřez z fotografie oproti originálu, případně posunuté fotografie po horizontální či vertikální ose.

Tuto problematiku řeší křížová korelace (Cross correlation method) [12]. Princip samotné korelace je stejný, pouze se opakuje s částečným posunem tak, aby pokryla všechny možné kombinace mezi dvěma fotografiemi. Příklad je názorně vidět na původních fotografiích, jak ukazuje (Obr. 2.3) a (Obr. 2.4).



Obr. 2.3 Příklad proložení dvou fotografií s použitím klasické korelace



Obr. 2.4 Příklad proložení dvou fotografií s použitím křížové korelace

## 2.5 Výpočet výsledného koeficientu

Po převodu z vlnového spektra zpět vychází již matice, ze které jsou vyloučeny imaginární hodnoty a pracujeme tedy jen s reálnými čísly. Výsledný KoP pro dané fotografie je dán nejvyšším nalezeným korelačním koeficientem v matici.

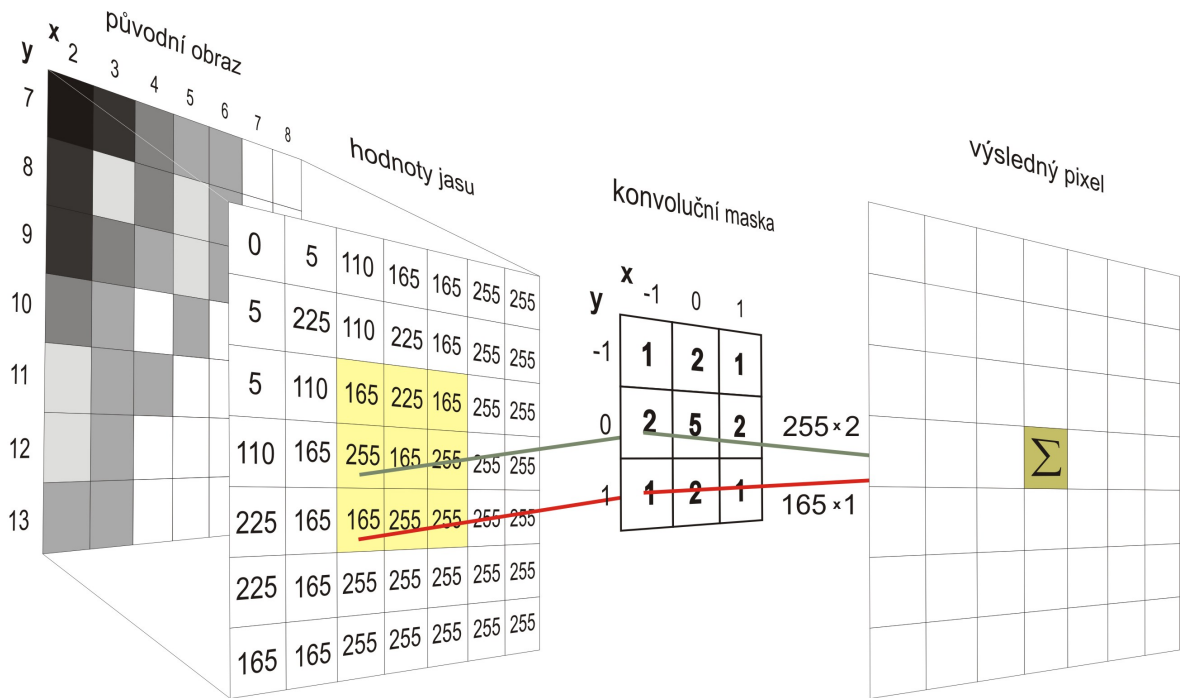
### 3 Koeficient zastupitelnosti dvou fotografií

Určení KoZ je experimentální proces založený na opakování aplikaci konvoluční matic s různým jádrem (konvoluční maskou). Bude jí věnována větší pozornost v projektové části. Zde budou představeny pouze techniky nutné k jejímu dosažení. Jelikož převod na světlostní matici a převod z–do vlnového spektra byly již představeny, nebudou dále znova uvedeny.

#### 3.1 Diskrétní 2D konvoluce

Konvoluce [19] je matematický operátor pro zpracování dvou funkcí. V algoritmech zpracovávajících dvourozměrný diskrétní obraz (např. v počítačové grafice) má konvoluce následující tvar:  $(f * h)(x, y) = \sum_{i=-k}^k \sum_{j=-k}^k f(x-i, y-j) \bullet h(i, j)$

Názorná ukázka konvoluce je vidět na přiloženém obrázku (Obr. 3.1).



Obr. 3.1 Příklad Diskrétní 2D konvoluce [19]

#### 3.2 Konvoluce a volba jádra

Konvoluce ve světě počítačové grafiky je operace s obrázkem ve formátu matice pomocí jiné matice zvané „jádro“ (nebo též konvoluční maska). Jako první matice se používá obrázek určený k úpravě. Obrázek představuje dvojrozměrnou pravoúhlou souřadnicovou síť pixelů. Použité jádro závisí na požadovaném efektu.

V našem případě je požadovaný filtr na detekci hran [20]. Základní jádra pro detekci hran mají součet roven nule (Tab. 3.1 a Tab. 3.2). Nejsou vhodné na obrázky zatížené šumem. Ten je nezbytné před aplikací těchto filtrů eliminovat.

Tab. 3.1 Jádro pro detekci hran (horizontálně a vertikálně)

0	1	0
1	-4	1
0	1	0

Tab. 3.2 Jádro pro detekci hran (horizontálně, vertikálně a šikmé hrany)

1	1	1
1	-8	1
1	1	1

## II. ANALYTICKÁ ČÁST

## 4 Brainstorming

Tato analytická metoda slouží ke sběru myšlenek, námětů a případné zevrubné konstruktivní kritice dané problematiky. V rámci této práce byla použita v akademickém a profesním kruhu za účelem identifikace základních ukazatelů pro další kroky analýzy.

### 4.1 Akademický kruh

Diskutovány byly zejména technické možnosti týkající se otázek kde a jak lze vůbec porovnání fotografií provádět strojově. K další analýze byly vybrány algoritmy vhodné pro strojové určení podobnosti fotek

- Porovnání pomocí histogramu
- Porovnání pomocí Hausdorff distance
- Porovnání pomocí SVM [23]

### 4.2 Profesní kruh

V kruhu s provozovatelem byly kladený nejvyšší nároky na flexibilitu a propustnost celého řešení.

## 5 Diferenční analýza (GAP analýza)

### 5.1 Popis současného stavu

Je požadováno porovnání rastrových bitmap za účelem identifikace vzájemně podobných fotografií. Řešení je hledáno pro produkční provoz. Konzumentem cílového řešení je webový portál dovolena.cz, který má přibližně dva miliony fotografií. Průměrný počet přístupů k některé fotografii je přibližně 100 přístupů za sekundu. Obsahem fotografií jsou především hotely a jejich okolí. Webový portál slouží spíše jako datový konsolidátor. Nabídka portálu značně ovlivňuje cílové portfolio fotografií. Podle testovacích měření se za jeden týden obmění cca 10% fotografií z celkového množství. Jako testovací vzorek byl vybrán jeden nejmenovaný hotel a jeho 35 fotografií. Zákazník webového portálu vidí všechny fotografie v nesetříděné galerii. Některé fotografie jsou unikátní, ale většina si je velmi podobná. U některých dokonce nejsou lidským okem patrné rozdíly.

### 5.2 Popis cílového stavu

Konsolidované fotografie prezentované klientovi budou v maximální možné míře obsahovat unikátní fotografie. Vzájemně si podobné fotografie budou odfiltrovány a zůstane pouze jedna a to fotografie s nejvyšším KoZ. Klient nebude čekat na zpracování podobnosti obrázků. Pokud budou zpracované, klient uvidí jen unikáty. Pokud nebudou zpracované, klient uvidí vše v původním stavu. V takovém případě se poměrově zvýší priorita na výpočet podobnosti fotografií tohoto hotelu vůči ostatním ve frontě na výpočet. Cílové řešení musí být schopno operovat řádově s jednotkami milionů fotografií s týdenní fluktuací 15%.

#### 5.2.1 Nefunkční požadavky

- Bezúdržbový systém
- Nevyžadující v průběhu času další financování
- Minimální vstupní investice
- Maximální kompatibilita s aktuálním HW
- Programovací jazyk Java [25]

### 5.3 Rozdíly

- Nově vznikne nástroj pro určení KoP.
- Nově vznikne nástroj pro určení KoZ.
- Fotografie jednoho hotelu budou oindexovány a vnitřně škálovány do skupin pomocí koeficientů výše.
- Dojde k navýšení celkového počtu fotografií.
- Zvýší se fluktuace fotografií (na očekávaných 15%).

## 5.4 Návrh variant k dosažení cíle

Přiříkem celého řešení bude backendová strana cílového konzumenta. Limity a také jednotlivé možnosti pro realizaci jsou velmi omezeny nutností integrovat do současného řešení. Z těchto důvodů má serverová strana převážně podpůrný charakter v projektu jako celku. Její význam je zejména v propojení všech jednotlivých komponent. Dojde tedy k modifikaci existujícího produkčního server-side prostředí. Nově zde poběží služba, která bude

- poskytovat zadání na určení KoP,
- poskytovat metadata nezbytná pro distribuci výpočtu,
- konzumovat výsledek distribuované operace,
- kompletovat zpracovaná data do cache vhodné pro silný organický provoz.

Naopak klientská strana je naprosto autonomní. Pro realizaci lze použít jak libovolnou platformu, tak libovolné technologie. Jediným technickým limitem je schopnost standardizovaným způsobem komunikovat se serverovou stranou pomocí SOAP api [21].

### 5.4.1 Výpočet KoP a KoZ na CPU produkčního serveru

Základní myšlenka je využít nejdostupnější produkční HW a na zavedeném serveru spustit novou službu. Hlavní výhodou je dostupnost produkčního HW ve vlastním datacentru cílového konzumenta. Podstatnou nevýhodou je fakt, že pro určení výše uvedených koeficientů není CPU [22] ideální platforma.

### 5.4.2 Výpočet KoP a KoZ na CPU produkčního serveru s paralelizací na GPU

Tento způsob předpokládá osazení produkčního serveru dedikovanou pracovní grafickou kartou a vybrané části procesu výpočtu KoP a KoZ optimalizovat pro zpracování na GPU [24].

### 5.4.3 Výpočet koeficientů na PC farmě

Způsob předpokládá využití HW osobních PC, kterých je v každé větší společnosti dostatek. Výpočet koeficientů tedy není nutno provádět na jednom stroji, ale lze jej provádět na každém dostupném stroji.

## 5.5 Zhodnocení variant

Jako nejvhodnější varianta pro realizaci vychází PC farma. Jako záložní řešení lze využít produkční server s výpočtem na CPU. Pokud bude zvolen vhodný programovací jazyk (např. požadovaný programovací jazyk Java [25]), bude výsledné řešení přenositelné.

Zhodnocení výkonových rozdílů vychází z benchmarkingu, který byl vyhodnocen jako pomocná analýza uvedená níže. Zhodnocení prezentuje tabulka (Tab. 5.1)

Tab. 5.1 Tabulka výsledků jednotlivých variant krátkodobého testu

Varianta	Týdenní přírůstek	Všechny fotografie	Teoretická rezerva
CPU	6 dní	27 týdnů	3,7%
GPU	8 hodin	2 dny 2 hodiny	300%
PC farma (300 ks)	2,5 hodin	16 hodin	700%

Zhodnocení investičních rozdílů ukazuje tabulka (Tab. 5.2). Vychází z předpokladu, že  $x$  je investiční konstanta v Kč, vztažená na cenu jednoho produkčního serveru bez GPU. Pro zjednodušení je stanovena na 100.000 Kč (není příliš daleko od reality).

Tab. 5.2 Tabulka výsledků jednotlivých variant krátkodobého testu

Varianta	Pořizovací cena [Kč]	Nutná investice [Kč]
CPU	$x$	0
GPU	$10x$	$10x$
PC farma (300 ks)	$30x$	0

### 5.5.1 Výpočet KoP a KoZ na CPU produkčního serveru

#### *Výsledky banchmarkingu*

- Za necelých 6 dní spočítá týdenní přírůstek.
- Za zbylou dobu z týdenního cyklu dále vypočítá přibližně 3,7% z celkového objemu sto milionu koeficientů.
- Pro plné vypočítání všech koeficientů potřebuje dalších cca 27 týdnů.
- Rezerva pro další růst (navýšení celkového počtu fotografií) je cca 18 %.

### 5.5.2 Výpočet KoP a KoZ na CPU produkčního serveru s paralelizací na GPU

**Pro realizaci tohoto scénáře je nezbytná vysoká vstupní investice.** Běžně dostupný produkční server nedisponuje GPU. Pořizovací cena takového serveru je řádově vyšší. Dále je nutné připočítat cenu vlastní dedikované grafické karty, která cenově převyšuje cenu serveru. Její výběr je velmi omezen kompatibilitou s produkčními servery. Zástupce firmy Dell byl schopen nacenit na vlastní server pouze dvě karty s možností garancí non-stop provozu a výměnou do 24 hodin.

*Výsledky banchmarkingu*

- Za necelých 8 hodin spočítá týdenní přírůstek.
- Za část ze zbylé doby týdenního cyklu dále vypočítá 100 % z celkového objemu sto milionu koeficientů.
- Pro plné vypočítání všech koeficientů potřebuje celkem 2 dny.
- Rezerva pro další růst (navýšení celkového počtu fotografií) je cca 300 %.

**5.5.3 Výpočet koeficientů na PC farmě**

Výsledek jednoho kancelářského PC je zanedbatelný a nemůže se rovnat předchozím variantám. Vezmeme-li v úvahu, že těchto strojů je k dispozici 300 kusů po dobu 16 hodin denně, posunou se výsledky na jinou úroveň.

*Výsledky banchmarkingu*

- Za 2,5 hodiny spočítá týdenní přírůstek (za předpokladu 300 aktivních PC).
- Za část ze zbylé doby týdenního cyklu dále vypočítá 100 % z celkového objemu sto milionu koeficientů.
- Pro plné vypočítání všech koeficientů potřebuje celkem 16 hodin, což je v tomto případě 1 den.
- Rezerva pro další růst (navýšení celkového počtu fotografií) je cca 700 %.

Tento krok předpokládá mimo jiné i revizi infrastruktury, především kvalitu a šířku pásma sítě, centrální správu PC apod., které v této fázi nejsou zahrnuty do hodnotících kritérií.

## 6 Benchmarking

Jednotlivé kandidáty pro realizaci klientské části (zavedené v diferenční analýze) podrobíme výkonnostním a srovnávacím testům. Základní předpoklady:

- Řádově je potřeba jednorázově odbavit 100.000.000 výpočtů KoP.
- Řádově je potřeba jednorázově odbavit 2.000.000 výpočtů KoZ.
- Na týdenní bázi následně odbavovat přírůstky řádově
  - 15.000.000 výpočtů KoP,
  - 300.000 výpočtů KoZ.

### 6.1 Testovací prostředí

#### 6.1.1 Použitý HW

*Simulace produkčního serveru* je založena na pracovní stanici Lenovo D20, která je svoji sestavou velmi blízko produkčnímu serveru. Vzhledem k tomu, že disponuje starší generací CPU, bylo do ní osazeno i odpovídají GPU, aby bylo možné výsledky approximovat na reálný produkční HW.

- Lenovo ThinkStation D20
- Operační systém Windows 10 pro 64 bit
- CPU Intel(R) Xeon(R) X5670 @ 2.93 GHz (2×cpu, 6×core, 12×thread)
- RAM 32 GB DDR3 (1066)
- GPU NVIDIA GeForce GTX 460
- HDD SAS 10.000 ot

*Simulace klasického PC* je založena na PC Dell Optiplex 780. Obecně je to velmi rozšířený kancelářský PC. Taktéž cílový konzument disponuje více než 300 ks odpovídajících kancelářských PC. Tato simulace je omezena pouze na výpočty na CPU.

- Dell Optiplex 780
- Operační systém Windows 7 pro 32 bit
- CPU Intel Core 2 Duo E7500 2,93 GHz
- RAM 4 GB DDR3
- HDD SATA 250 GB

#### 6.1.2 Použitý SW

V úvodní fázi projektu probíhal vývoj i testování algoritmů v Matlabu [4]. Ten vnitřně používá pro zpracování DFT a IFT knihovnu FFTW [13]. Tato knihovna má dostupnou nativní implementaci v CMake [17]. Dále má pro řadu programovacích jazyků (včetně programovacího jazyku Java [16]) připravený wrapper [18].

*Algoritmus v matlabu (výpočet KoP na CPU)* níže (Kod. 6.1) byl použit jako základní srovnávací test pro výpočet KoP hrubou silou na CPU. Výsledný KoP odpovídá v algoritmu proměnné ccCMax.

Kod. 6.1 banchmark-cpu.m

```

1 close all; clc; clear;
2
3 method = 'nearest';
4 %method = 'bicubic';
5
6 type = 'single';
7
8 n = 35; % pocet obrazku
9
10 %obrazky
11 im_gpu = cell(1, n);
12
13 h = zeros(1, n, type);
14 w = zeros(1, n, type);
15
16 s0 = 'hotel_images\aa';
17
18 %nahravani obrazku
19 tic
20 for i = 1:n
21     if i < 10
22         s = [s0, '0' int2str(i), '.tif'];
23     else
24         s = [s0,int2str(i),'.tif'];
25     end;
26
27     im = single(imread(s)); %nahrani obrazku a prevod
28
29 [n1,n2,n3] = size(im);
30 h(i) = n1;
31 w(i) = n2;
32 im_gpu{i} = im; %nahrani obrazku
33 end;
34 disp('Nahravani vsech obrazku:');
35 toc
36
37 %prevedeni obrazku na jasove matice
38 for i=1:n
39     im_gpu{i} = sum(im_gpu{i}, 3) ./ 3; %preved na jasovou matici
40 end;
41 disp('Prevod vsech obrazku na jasovou matici:');
42 toc
43
44 log_cpu = zeros(n, n, type);
45
46 %cyklus
47 for i=1:n
48     %ft prvniho obrazku
49     ft1 = fft2(im_gpu{i});
50     ft1Norm = ft1 ./ abs(ft1);
51
52     for j=1:n
53         if i==j
54             continue;
55         end;
56
57         scale = min(h(i)/h(j), w(i)/w(j));
58         h2 = round(scale * h(j));
59         h2 = min(h2, h(i));
60         w2 = round(scale * w(j));
61         w2 = min(w2, w(i));
62
63         im2Sc = imresize(im_gpu{j}, [h2, w2], method);
64
65         %doplneni druheho obrazku nulami na jednotnou velikost
66         im2 = zeros(h(i), w(i), type);
67         im2(1:h2, 1:w2) = im2Sc;
68
69         %ft druheho obrazku
70         ft2 = fft2(im2);
71         ft2Norm = ft2 ./ abs(ft2);
72
73         skrizova korelace ve vlnovem spektru
74         ccW = ft1Norm .* conj(ft2Norm);
75
76         %spreved do obycejneho souradnicoveho systemu
77         ccC = real(ifft2(ccW));
78
79         %shledani maximálního korelačního koeficientu
80         ccCMax = max(ccC);
81         ccCMax = max(ccCMax);
82         log_cpu(i,j) = ccCMax;
83         disp(['obr1: ',int2str(i),'; obr2: ',int2str(j)]);
84     end;
85 end;
86 disp(['Cyklus ',int2str(n),' obrazku:']);
87 time = toc
88
89 clearvars -except log_cpu;

```

*Algoritmus v matlabu (výpočet KoP s paralelizací na GPU)* níže (Kod. 6.2) vychází z původního zpracování (Kod. 6.1). Vybrané části výpočtu KoP jsou zpracovány pomocí paralelizace na GPU. Výsledný KoP opět odpovídá proměnné ccCMax. Pro paralelizaci byla využita platforma CUDA [26].

## Kod. 6.2 banchmark-gpu.m

```

1 %setenv('NSIGHT_CUDA_DEBUGGER','1')
2 close all; clear; clc;
3
4 %method = '_nearest';
5 %method = '_biquadr';
6 method = '_bicubic';
7
8 type = 'single';
9
10 n = 35;
11
12 path = 'kernels\ImgScale\ImgScale\kernel\_';
13 kernel = parallel.gpu.CUDAKernel([path, type, method, '.ptx'], [path, type, method, '.cu']);
14
15 %obrazky
16 im_gpu = cell(1,n);
17
18 h = zeros(1, n, type);
19 w = zeros(1, n, type);
20
21 s0 = 'hotel\_images\aa';
22
23 %nahravani obrazku na grafiku
24 tic
25 for i = 1:n
26     if i < 10
27         s = [s0,'0',int2str(i),'.tif'];
28     else
29         s = [s0,int2str(i),'.tif'];
30     end
31
32     im = single(imread(s)); %nahrani obrazku a prevod
33
34     [n1,n2,n3] = size(im);
35     h(i) = n1;
36     w(i) = n2;
37     im_gpu{i} = gpuArray(im); %nahrani obrazku na grafiku
38
39 disp('Nahravani vsech obrazku do pameti grafiky:');
40 toc
41
42 %prevadeni obrazku na jasove matici
43 for i=1:n
44     im_gpu{i} = sum(im_gpu{i}, 3) ./ 3; %prevod na jasovou matici
45 end;
46 disp('Prevod vsech obrazku na jasovou matici:');
47 toc
48
49 log = zeros(n, n, type, 'gpuArray');
50
51 %cyklus
52 for i=1:n
53     %ft prvniho obrazku
54     ft1 = fft2(im_gpu{i});
55     ft1Norm = ft1 ./ abs(ft1);
56
57     for j=1:n
58         if i==j
59             continue;
60         end;
61
62         scale = (min(h(i)/h(j), w(i)/w(j)));
63         h2 = round(scale * h(j));
64         h2 = min(h2, h(i));
65         w2 = round(scale * w(j));
66         w2 = min(w2, w(i));
67         scale_h = h(j)/h2;
68         scale_w = w(j)/w2;
69
70         im2Sc = imresize(im_gpu{j}, scale);
71
72         im2Sc = zeros(h2, w2, type, 'gpuArray');
73         kernel.GridSize = w2;
74         kernel.ThreadBlockSize = h2;
75         im2Sc = feval(kernel, im2Sc, im_gpu{j}, int32(h(j)), int32(w(j)), scale_h, scale_w);
76
77         sdoplneni druhoho obrazku nulami na jednotnou velikost
78         im2 = zeros(h(i), w(i), type, 'gpuArray');
79         im2(1:h2, 1:w2) = im2Sc;
80
81         %ft druhoho obrazku
82         ft2 = fft2(im2);
83         ft2Norm = ft2 ./ abs(ft2);
84
85         %skrizova korelace ve frekvencnim spektru
86         ccW = ft1Norm .* conj(ft2Norm);
87
88         %sprechod do obycejneho souradnicoveho systemu
89         ccC = real(ifft2(ccW));
90
91         %shledani maximalniho korelacniho koeficientu
92         ccCMax = max(ccC);
93         ccCMax = max(ccCMax);
94         log(i,j) = ccCMax;
95         disp(['obr1: ',int2str(i),'; obr2: ',int2str(j)]);
96
97     end
98 disp(['Cyklus ',int2str(n),' obrazku:']);
99 log_gpu = gather(log);
100 toc
101
102 clearvars -except log_gpu;

```

**Algoritmus v matlabu (výpočet KoZ na CPU)** níže (Kod. 6.3) je svou strukturou a celkovým provedením odlišný od předchozích algoritmů (Kod. 6.1 a Kod. 6.2). Některé prvky (např. výpočet světlostní matici) zůstaly zachovány. Výpočet KoZ byl po provedení testů ve srovnávacích testech zanedbán. Především proto, že se nemusí

počítat pro kombinace fotografií, ale právě jednou pro každou fotografií a to při jejím pořízení. Průměrná doba výpočtu KoZ je 620 ms.

Kod. 6.3 banchmark-koz-cpu.m

```

1 a = cell(1,15);
2   a{7} = 'image/006780_5305124.jpg';
3 a{10} = 'image/37342_cat@008802_069_01.jpg';
4 a{13} = 'image/37342_cat@09629_110_10.jpg';
5 a{4} = 'image/37342_010590_11837774.jpg';
6 a{11} = 'image/37342_cat@08103_113_02.jpg';
7 a{1} = 'image/37342_cat@09015_115_06.jpg';
8 a{9} = 'image/37342_cat@11203_140_04.jpg';
9 a{6} = 'image/cat@013326_136_04.jpg';
10 a{14} = 'image/cat@012556_124_06.jpg';
11 a{5} = 'image/37342_cat@10488_142_06.jpg';
12 a{15} = 'image/cat@013842_136_04.jpg';
13 a{8} = 'image/lbc402_zimmerl_0912.jpg';
14 a{12} = 'image/37342_cat@09533_052_02.jpg';
15 a{2} = 'image/37342_cat@11000_055_02.jpg';
16 a{3} = 'image/37342_cat@11855_060_02.jpg';
17
18 close all;
19
20 startfile = 1;
21 endfile = 15;
22
23 best = zeros(endfile - startfile+1,4);
24
25 kernel_up = [-0.0625 -0.0625 -0.0625; -0.0625 0.5 -0.0625; -0.0625 -0.0625 -0.0625];
26
27 kernel_down = [0 0.125 0; 0.125 0.5 0.125; 0 0.125 0];
28
29 for i=startfile:endfile
30   im = imread(a{i});
31   [m,n] = size(im(:,:,1));
32
33   im_br = sum(im,3)/3;
34   im_ft = fft2(im_br);
35
36   kernel_up_sized = zeros(m,n);
37   kernel_up_sized(1:2,1:2) = kernel_up(2:3,2:3);
38   kernel_up_sized(m,1:2) = kernel_up(1,2:3);
39   kernel_up_sized(1:2,n) = kernel_up(2:3,1);
40   kernel_up_sized(m,n) = kernel_up(1,1);
41   kernel_up_ft = fft2(kernel_up_sized);
42
43   im_conv1_ft = im_ft.*kernel_up_ft;
44   im_conv1 = ifft2(im_conv1_ft);
45
46   kernel_down_sized = zeros(m,n);
47   kernel_down_sized(1:2,1:2) = kernel_down(2:3,2:3);
48   kernel_down_sized(m,1:2) = kernel_down(1,2:3);
49   kernel_down_sized(1:2,n) = kernel_down(2:3,1);
50   kernel_down_sized(m,n) = kernel_down(1,1);
51   kernel_down_ft = fft2(kernel_down_sized);
52
53   im_conv2_ft = im_conv1_ft.*kernel_down_ft;
54   im_conv2 = ifft2(im_conv2_ft);
55
56   im_conv1_8 = uint8(zeros(m,n,3));
57   im_conv1_8(:,:,1) = uint8(im_conv1);
58   im_conv1_8(:,:,2) = uint8(im_conv1);
59   im_conv1_8(:,:,3) = uint8(im_conv1);
60   im_conv2_8 = uint8(zeros(m,n,3));
61   im_conv2_8(:,:,1) = uint8(im_conv2);
62   im_conv2_8(:,:,2) = uint8(im_conv2);
63   im_conv2_8(:,:,3) = uint8(im_conv2);
64
65 % if i==1 || i==2 % || i==9
66 %   figure;
67 %   image(im_conv1_8);
68 %   figure;
69 %   image(im_conv2_8);
70 %
71
72 sharpness = sum(sum(im_conv1 > 20));
73 oversharpeness = sum(sum(im_conv1-im_conv2 > 20));
74
75 best(i-startfile+1,1) = i;
76 best(i-startfile+1,2) = sharpness;
77 best(i-startfile+1,3) = oversharpeness;
78 best(i-startfile+1,4) = sharpness / max(250,oversharpeness-250);
79
80 end;
81
82 [sbest, sx] = sort(best(:,4),'descend');
83 best = best(sx,:);

```

## 6.2 Výsledky testování

Byly realizovány tři testovací scénáře.

- Výpočet čistě na CPU s maximálním využitím produkčního HW.
- Výpočet na CPU s využitím GPU pro paralelizaci vybraných procesů.
- Výpočet čistě na CPU na PC farmě.

### 6.2.1 Výpočet koeficientů na CPU

Výpočet na CPU byl spuštěn v pěti vláknech. Po spuštění probíhal výpočet velmi slibně. Bohužel při delším testu se výpočet začal značně propadat. Později se ukázalo, že hlavním důvodem je odložené uvolňování RAM. Jinými slovy dokud byla další volná RAM, výpočet jel velmi rychle. S potřebou uvolnit RAM se výpočet řádově snížil.

- Krátkodobý test
  - doba: 5 minut
  - počet opakování testu: 10
  - průměrně za sekundu: 205 výpočtů obou koeficientů
- Dlouhodobý test
  - doba: 6 hodin
  - počet opakování testu: 10
  - průměrně za sekundu: 31 výpočtů obou koeficientů
- Propad o 85 %

Na obrázku níže (Obr. 6.1) je výstup z profilování výpočtu na CPU. Obsahuje poměrově zvýrazněné dlouho trvající operace vůči zbytku procesu. V rámci profilování bylo zpracováno deset tisíc iterací a doby jednotlivých částí zprůměrovány.



Obr. 6.1 Vizualizace procesu výpočtu koeficientů na CPU

Celková zátěž alokovaného HW byla oproti očekávání výrazně nižší. Nepodařilo se efektivně využít CPU, které dosahovalo průměrné zátěže 30 %. Hlavní problém je realokace operační paměti. Jednotlivé procesy pak čekají na přidělení operační paměti. Úvodní myšlenka využít hrubou sílu produkčního HW se ukázala jako nevyhovující.

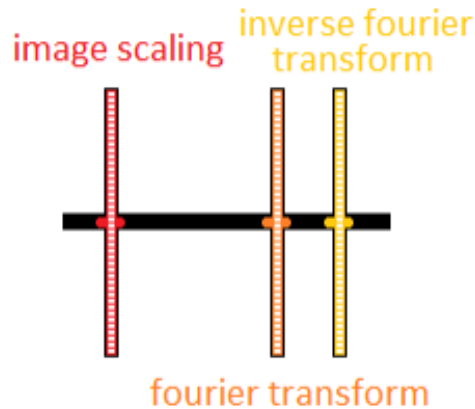
### 6.2.2 Výpočet koeficientů na CPU s paralelizací na GPU

Výpočet byl spuštěn v jednom vlákně na CPU. Vhodné operace pro GPU jsou delegovány pro paralelní zpracování. Nejprve byl na GPU paralelizován pouze úvodní scaling obrázků, což nemělo přijatelný dopad na výsledky. Následně byly paralelizovány na GPU také prováděné transformace obrázků. Právě tento krok měl zásadní vliv na zrychlení celé operace. Je opět patrný mírný propad krátkodobého testu oproti dlouhodobému.

- Krátkodobý test
  - doba: 5 minut

- počet opakování testu: 10
- průměrně za sekundu: 617 výpočtů obou koeficientů
- Dlouhodobý test
  - doba: 6 hodin
  - počet opakování testu: 10
  - průměrně za sekundu: 559 výpočtů obou koeficientů
- Propad o 10 %

Na obrázku níže (Obr. 6.2) je výstup z profilování výpočtu na CPU s využitím GPU pro paralelizaci dlouhotrvajících operací na CPU. Obsahuje poměrově zvýrazněné dlouho trvající operace vůči zbytku procesu. V rámci profilování bylo zpracováno deset tisíc iterací a doby jednotlivých částí zprůměrovány.



Obr. 6.2 Vizualizace procesu výpočtu koeficientů na CPU s paralelizací na GPU

Zátěž na CPU dosahuje v průměru 5 %. Naopak GPU dosahuje zátěže cca 75 %. Otázkou zůstává, jak dlouho je schopná GPU pracovat pod tímto permanentním zatížením.

### 6.2.3 Výpočet koeficientů na PC farmě

Výpočet byl spuštěn v jednom pracovním vlákně s omezenou možností alokace RAM na 1 GB. Jedná se v podstatě o alternativu výpočtu obou koeficientů čistě na CPU. Tomu odpovídá i celkový průběh zpracování, který byl téměř stejný, pouze s nižší dotací vypočítaných dvojic koeficientů. Lze tedy přejít rovnou na výsledky, jelikož samotné zpracování nic nového nepřineslo.

- Krátkodobý test
  - doba: 5 minut

- počet opakování testu: 10
- průměrně za sekundu: 10 výpočtů obou koeficientů
- Dlouhodobý test
  - doba: 6 hodin
  - počet opakování testu: 10
  - průměrně za sekundu: 6 výpočtů obou koeficientů
- Propad o 40 %

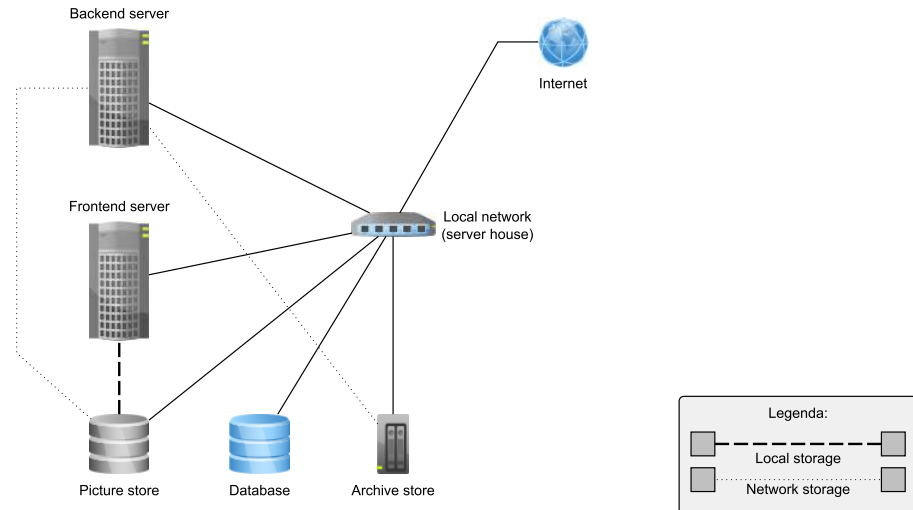
Zátěž na CPU je konstantní. Jedno jádro ze dvou jede permanentně na 100 %. Celková zátěž CPU tedy 50 %. Vzhledem k tomu, že stoj již netrpěl na realokaci paměti, je v případě PC úzkým hrdlem opravdu CPU. Ostatní sledované metriky (vytížení HDD, síťový provoz, pracovní teplota) se příliš nevychýlily z normálu.

### III. PROJEKTOVÁ ČÁST

## 7 Příprava projektu

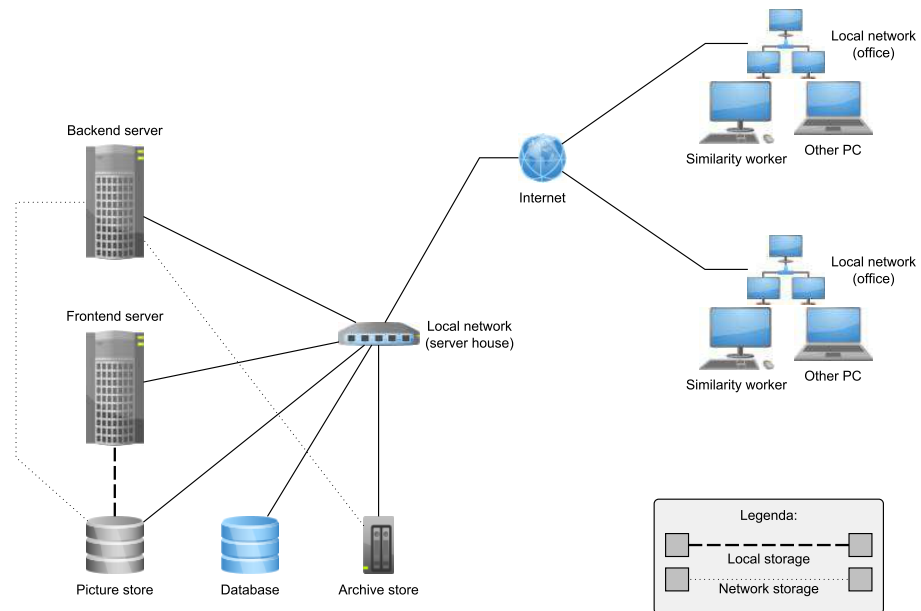
### 7.1 HW Architektura

#### 7.1.1 Pohled na aktuální HW mapu



Obr. 7.1 L1 pohled aktuálního stavu

#### 7.1.2 Pohled na plánovanou HW mapu

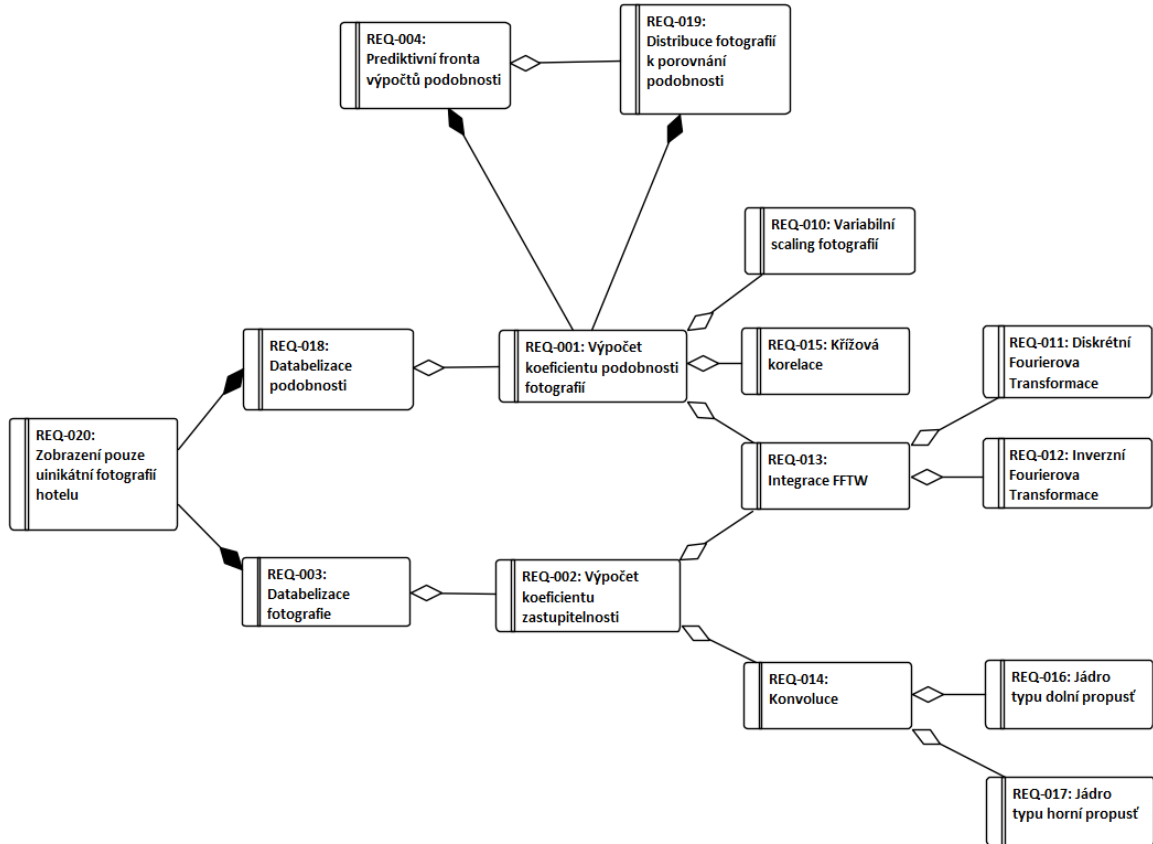


Obr. 7.2 L1 pohled cílového stavu

## 7.2 Požadavky

### 7.2.1 Funkční požadavky

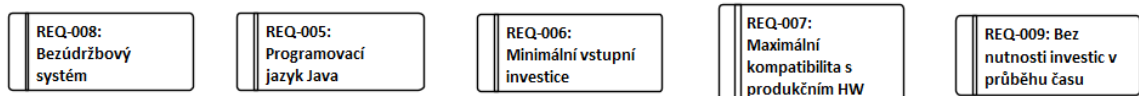
Klasifikaci funkčních požadavků systému znázorňuje obrázek (Obr. 7.3).



Obr. 7.3 Funkční požadavky

### 7.2.2 Nefunkční požadavky

Klasifikaci nefunkčních požadavků systému znázorňuje obrázek (Obr. 7.4).

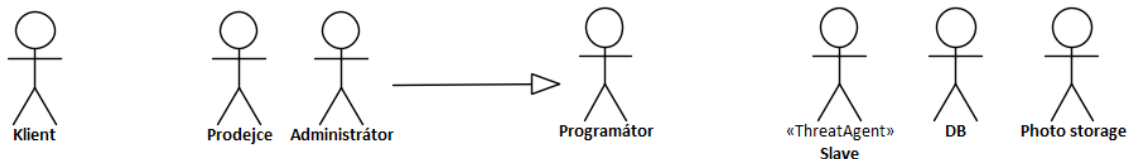


Obr. 7.4 Nefunkční požadavky

## 7.3 Případy použití

### 7.3.1 Aktéři

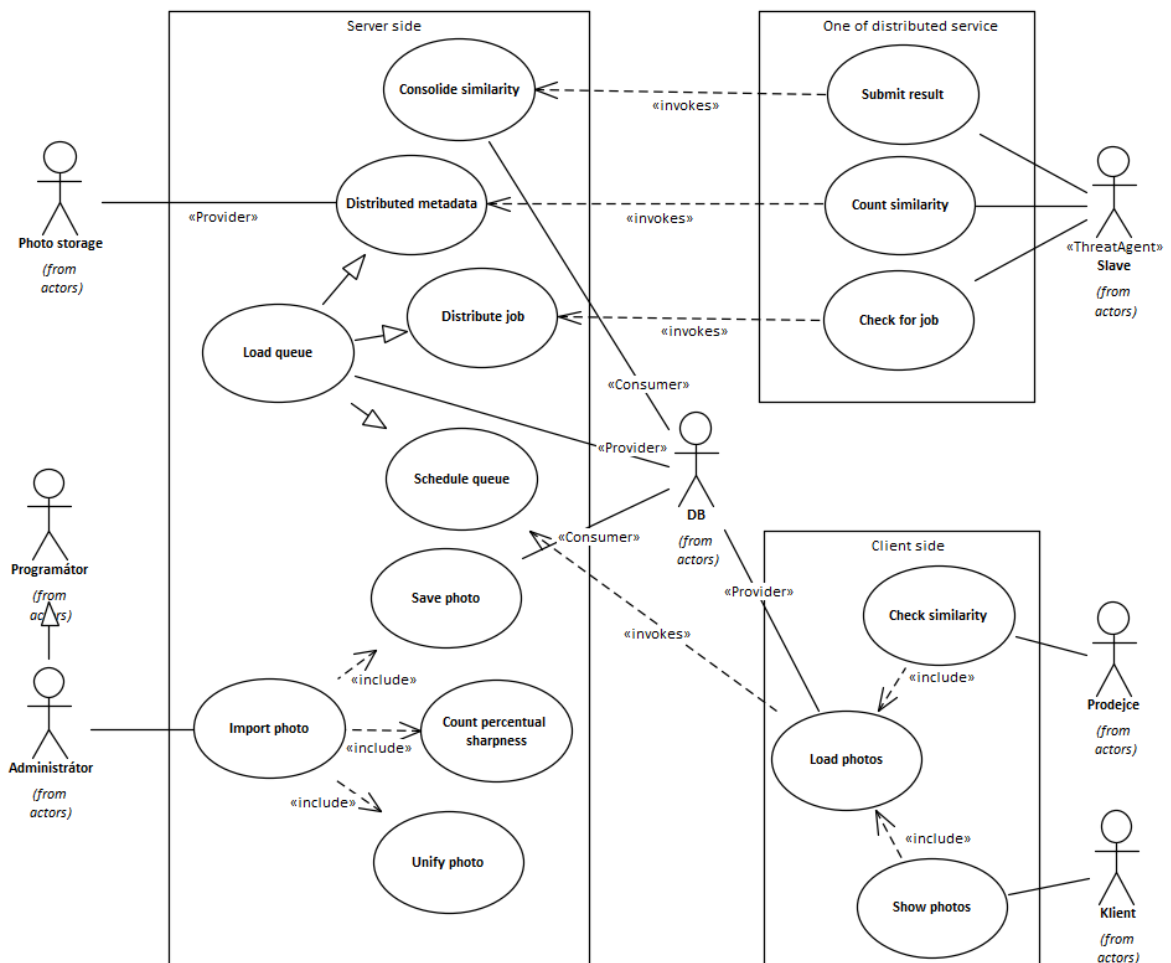
Klasifikace aktérů (Obr. 7.5).



Obr. 7.5 Aktéři

### 7.3.2 Případy užití

Klasifikaci případů použití znázorňuje obrázek (Obr. 7.6).

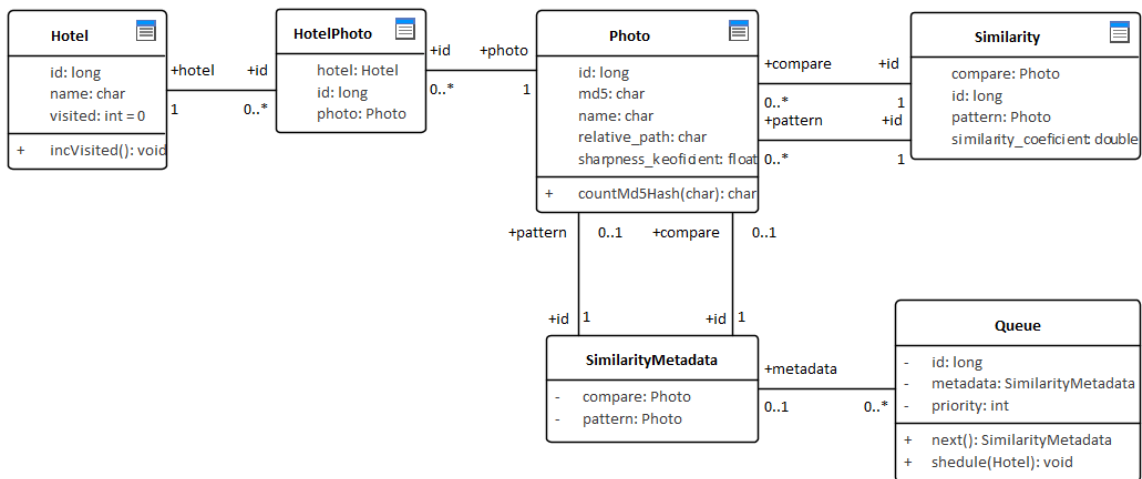


Obr. 7.6 Případy užití

## 7.4 Modely

### 7.4.1 Model tříd

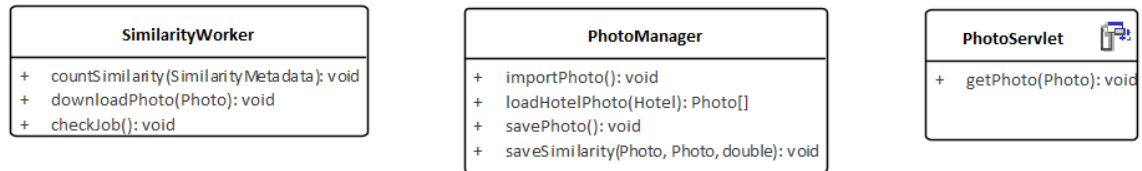
Identifikované datové modely jsou znázorněny pomocí modelu třídy na obrázku níže (Obr. 7.7)



Obr. 7.7 Model tříd

#### 7.4.2 Model služeb

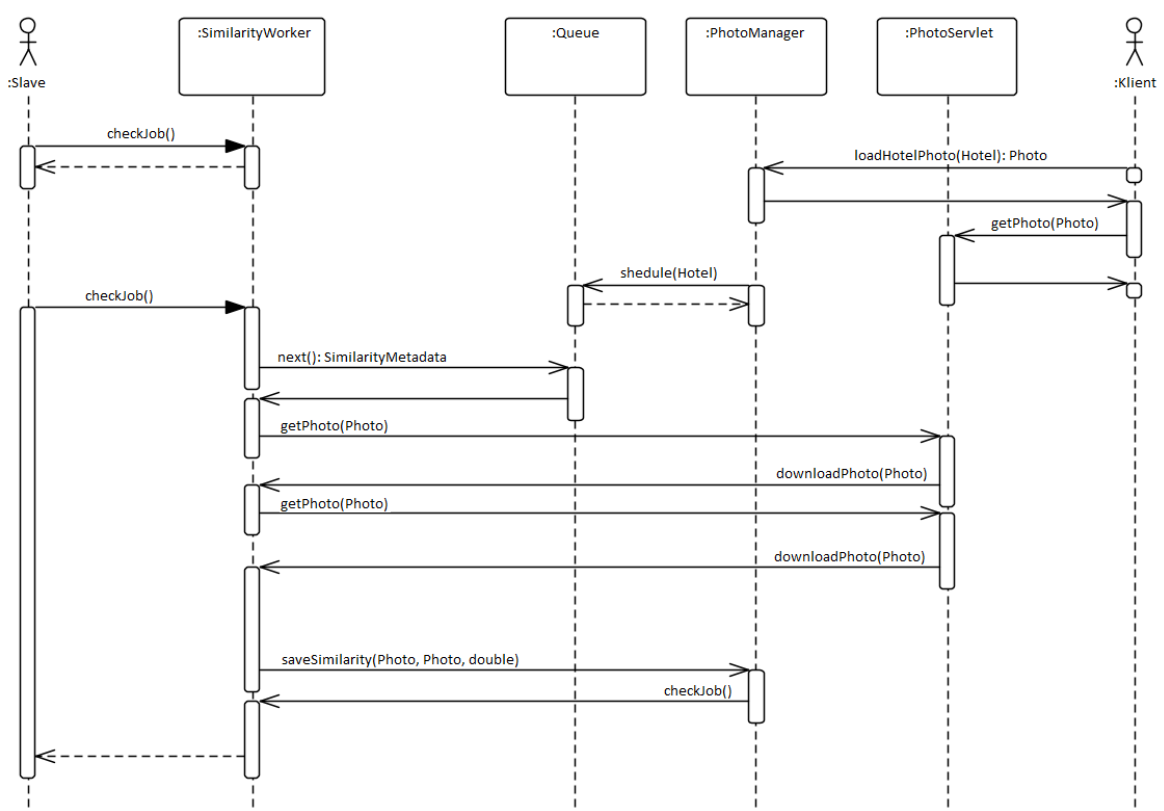
Identifikované backendové služby jsou znázorněny na obrázku níže (Obr. 7.8)



Obr. 7.8 Model služeb

#### 7.5 Sekvenční diagram distribuované služby

Na obrázku níže (Obr. 7.9) je znázorněn sekvenční diagram přibližující odbavení výpočtu KoP.



Obr. 7.9 Sekvenční diagram

## 8 Serverová strana distribuované služby

Současná serverová strana je webová aplikace postavená na JavaSE 7 [27] a Springu [28]. Pro komunikaci využívá SOAP API. Data ukládá do relační databáze (PostgreSQL [30]). Tato serverová strana bude modifikována. Nově zde bude

- upraven proces databelializace fotografií (výpočet KoZ),
- zkonstruována fronta importovaných fotografií čekajících na výpočet KoP,
- vystaven servlet navracející fotografie,
- vystavena webová služba pro obsluhu distribuované služby.

### 8.1 Databelializace fotografií

Do původního řešení byla zavedena kontrola existence totožné fotografie na základě MD5. Hodnota MD5 je ukládána do DB. Nad tímto sloupcem je aplikován unikátní index. Dále se nově při importu fotografie ukládají její vybraná metadata. Ta později lze s výhodou použít na určení KoZ přímo v SQL dotazu. Jedná se o:

- výšku a šířku v px,
- poměrný počet hran (přeostřenost)

Výsledek po dokončení importu fotografií je patrný na obrázku níže (Obr. 8.1).

Obrázky hotelů								
Id	Hotel ▲	V...	Statický soubor	Cestovní kancelář	Poslední aktualizace	Hash	Šířka	Výška
28 5...	Aanari Hotel & Spa [12868]	0		Tjaereborg (DE)	2017-12-06 15:46:48	8E221E0C377E9C147CE626948D...	700	442
28 5...	Aanari Hotel & Spa [12868]	0		JT Touristik	2017-12-06 15:46:48	19D049AF8CDAEB4A0622C1EB13...	700	442

Obr. 8.1 Náhled administrace uložených fotografií

#### 8.1.1 Výpočet poměrného počtu hran

Jedná se o matematickou operaci založenou na kovoluci, DFT a IFT. Základní torzonošného algoritmu je vidět níže (Kod. 8.1).

Kod. 8.1 SharpnessCore.java

```

1 package cz.sa.dovolena.similarityclient.similarity;
2 ...
3 ...
4 import edu.emory.mathcs.jtransforms.fft.DoubleFFT_2D;
5 import javax.imageio.ImageIO;
6 ...
7 ...
8 ...
9 ...
10 /**
11 * Pracuje s konvolucním jadrem 3x3 typu horní propust, symetrickým, ne ideálním

```

```

12 * => propousti vysoké prostorové frekvence (nízké zahazuje)
13 *
14 * @author Dobroslav Pelc
15 */
16 public class SharpnessCounter {
17 ...
18 /**
19 * Určí pomerný koeficient ostrosti
20 *
21 * @return koeficient ostrosti
22 */
23 public double countSharpness() {
24     log.debug("Sharpness: " + filePath);
25     File modelImageFile = new File(filePath);
26     Preconditions.checkNotNull(modelImageFile.exists(), "[" + filePath + "] → obrázek musí existovat.");
27     Preconditions.checkArgument(modelImageFile.canRead(), "[" + filePath + "] → nad obrázkem musí být právo ke čtení.");
28     /* Konstante scalovány vzorový obrázek */
29     RenderedImage image = readBufferedImage(modelImageFile);
30     matrixXSize = image.getHeight();
31     matrixYSize = image.getWidth() * 2;
32     Preconditions.checkArgument(matrixXSize >= KERNEL_SIZE && matrixYSize / 2 >= KERNEL_SIZE, "[" + filePath + "] → obrázek musí být > ="
33     + " než jádro konvoluční matici tj. " + KERNEL_SIZE + "x" + KERNEL_SIZE + " px");
34
35     fFTTransformer = new DoubleFFT_2D(matrixXSize, matrixYSize / 2);
36     /* Obrázek preveden do matic, px = cross corel value */
37     double[][] fTMatrix = buildBrightnessMatrix(image);
38     /* Původní pole preberne novou hodnotu z fft transformera */
39     fFTTransformer.realForwardFull(fTMatrix);
40     /* Konvoluční jádro ve vlnovém spektru přes horní propust */
41     double[][] ftHighKernelMatrix = buildFTHighKernelMatrix();
42     /* Konvoluční jádro ve vlnovém spektru přes dolní propust */
43     double[][] ftLowKernelMatrix = buildFTLowKernelMatrix();
44     /* konvoluce ve vlnovém spektru s jádrem horní propust */
45     double[][] convolutionHighMatrix = buildConvolutionMatrix(fTMatrix, ftHighKernelMatrix);
46     /*
47     * Odfiltruje sumu ve vysokých frekvencích:
48     * konvoluce ve vlnovém spektru s jádrem horní propust a následně i s
49     * jádrem dolní propust
50     */
51     double[][] convolutionHighLowMatrix = buildConvolutionMatrix(convolutionHighMatrix, ftLowKernelMatrix);
52     /* zpětna (inverzní) FT */
53     /* konvoluce v původním souradnicovém systému */
54     fFTTransformer.complexInverse(convolutionHighMatrix, true);
55     fFTTransformer.complexInverse(convolutionHighLowMatrix, true);
56
57     sharpness = sumSharpnessPointOfBorder(convolutionHighMatrix);
58     overSharpness = sumOverSharpnessPointOfBorder(convolutionHighMatrix, convolutionHighLowMatrix);
59
60     return (double) sharpness / Math.max(OVER_SHARPNESS_ERROR_BOUND, overSharpness - OVER_SHARPNESS_ERROR_BOUND);
61 }
62 ...
63 ...
64 ...
65 }
66 }
```

**Světlostní matice** vznikne převodem fotografie (Obr. 8.2) do dvourozměrného pole (Kod. 8.2).

Kod. 8.2 BrightnessMatrix.java

```

1 /**
2  * Vytvoří matici, která má pro každý px obrázku vypočítat průměrnou světlost
3  * a uloží do výstupního pole. Pokud obrázek není v poměru 4:3, prázdné
4  * místa se doplní nulami.
5  *
6  * @param image vyrenderovaný obrázek
7  * @return pole křízové korelace všech px obrázku.
8  */
9 private double[][] buildBrightnessMatrix(RenderedImage image) {
10
11     Preconditions.checkNotNull(image, "Obrazek, nad kterým chcete vypočítat průměrnou světlost, nesmí být null.");
12     final int imageWidth = image.getWidth();
13     Preconditions.checkArgument(imageWidth <= matrixYSize / 2, "Obrazek, nad kterým chcete vypočítat průměrnou světlost, musí být scalovány na X32024px.");
14     final int imageHeight = image.getHeight();
15     Preconditions.checkArgument(imageHeight <= matrixXSize, "Obrazek, nad kterým chcete vypočítat průměrnou světlost, musí být scalován na X32024px.");
16
17     final double[][] brightnessMatrix = new double[matrixXSize][matrixYSize];
18     final RandomIter iterator = RandomIterFactory.create(image, null);
19
20     for (int x = 0; x < imageHeight; x++) {
21         for (int y = 0; y < imageWidth; y++) {
22             final double[] pixel = new double[RGB];
23             /* Pro vchodnéjsí práci s maticí v FFT jsme otocili význam indexu, z obrázku ale musíme násobit pořad stejné */
24             iterator.getPixel(y, x, pixel);
25
26             /* Vypočet jasu průměrného jasu pixelu */
27             double averageBrightness = (pixel[0] + pixel[1] + pixel[2]) / 3;
28             brightnessMatrix[x][y] = averageBrightness;
29         }
30     }
31     return brightnessMatrix;
32 }
```

**Matice ostrosti** je matice hran, která se získá převodem světlostní matice do vlnového spektra pomocí DFT a následnou konvolucí ve vlnovém spektru (Kod. 8.3). Grafická prezentace této operace je na obrázku níže (Obr. 8.4). K docílení požadovaného stavu

je nutné zvolit vhodný filtr (Tab. 8.1, (Kod. 8.3)). Samotné sestavení matice ostrosti ve vlnovém spektru znázorňuje přiložený kód níže (Kod. 8.4).

Kod. 8.3 FTHighKernelMatrix.java

```

1  /* POZN: součet všech zaporných a kladných koeficientu musí být = 0. */
2  /* Rozměr konvolučního jádra – zpravidla čtvercové. */
3  public static final int KERNEL_SIZE = 3;
4  /* Negativní koeficient konvolučního jádra pro horní propust */
5  private static final double HIGH_KERNEL_COEF_NEGATIV = -0.0625; // -(1/16)
6  /* Kladný koeficient konvolučního jádra pro horní propust */
7  private static final double HIGH_KERNEL_COEF_POSITIVE = 0.5;
8
9
10 private double[][] buildFTHighKernelMatrix() {
11     /* Druhá matici z konvolučního jádra */
12     double[][] kernelMatrix = new double[matrixXSize][matrixYSize];
13     /*
14      * do prvních ×33 polí dame konvoluční jádro:
15      *
16      * -1/16   -1/16   -1/16
17      * -1/16   1/2    -1/16
18      * -1/16   -1/16   -1/16
19      */
20     kernelMatrix[0][0] = HIGH_KERNEL_COEF_POSITIVE;
21     kernelMatrix[0][1] = HIGH_KERNEL_COEF_NEGATIV;
22     kernelMatrix[1][0] = HIGH_KERNEL_COEF_NEGATIV;
23     kernelMatrix[1][1] = HIGH_KERNEL_COEF_NEGATIV;
24     kernelMatrix[matrixXSize - 1][0] = HIGH_KERNEL_COEF_NEGATIV;
25     kernelMatrix[matrixXSize - 1][1] = HIGH_KERNEL_COEF_NEGATIV;
26     kernelMatrix[0][(matrixYSize / 2) - 1] = HIGH_KERNEL_COEF_NEGATIV;
27     kernelMatrix[1][(matrixYSize / 2) - 1] = HIGH_KERNEL_COEF_NEGATIV;
28     kernelMatrix[matrixXSize - 1][(matrixYSize / 2) - 1] = HIGH_KERNEL_COEF_NEGATIV;
29
30     fFTransformer.realForwardFull(kernelMatrix);
31     return kernelMatrix;
32 }
```

Tab. 8.1 Jádro typu horní propust

-1/16	-1/16	-1/16
-1/16	1/2	-1/16
-1/16	-1/16	-1/16

Kod. 8.4 ConvolutionMatrix.java

```

1 /**
2  * Konvoluce ve vlnovém spektru.
3  *
4  * @param a matice FT z obrazku
5  * @param b matice FT konvolučního jádra
6  * @return a .* b' (vynásobí prvek po prvku a a b)
7  */
8 protected double[][] buildConvolutionMatrix(double[][] a, double[][] b) {
9     double[][] result = new double[matrixXSize][matrixYSize];
10    for (int x = 0; x < matrixXSize; x++) {
11        for (int y = 0; y < matrixYSize / 2; y++) {
12            final double realPartA = a[x][2 * y];
13            final double realPartB = b[x][2 * y];
14            final double imagPartA = a[x][2 * y + 1];
15            final double imagPartB = b[x][2 * y + 1];
16            /* reálna cast výsledné matice */
17            result[x][2 * y] = realPartA * realPartB - imagPartA * imagPartB;
18            /* imaginární cast výsledné matice */
19            result[x][2 * y + 1] = realPartA * imagPartB + imagPartA * realPartB;
20        }
21    }
22    return result;
23 }
```

**Matice přeostření** je matice hran za prahovou hodnotou ostrosti (přeostřených hran). Vzniká konvolucí (Kod. 8.4) matice ostrosti s použití jádra typu dolní propust (Tab. 8.2, Kod. 8.5). Jádro bylo sestaveno experimentálně v mnoha iteracích a jeho funkčnost byla ověřena testováním na lidech, stejně jako aplikovaná prahová hodnota míry ostrosti.

Kod. 8.5 FTLowKernelMatrix.java

```

1  /* Koeficient okolních bodu konvolučního jadra pro dolní propust */
2  private static final double LOW_KERNEL_NEIGHBOUR_COEF = 0.125; // 1/8
3  /* Středový koeficient konvolučního jadra pro dolní propust */
4  private static final double LOW_KERNEL_MIDDLE_COEF = 0.5;
5
6  private double[][] buildFTLowKernelMatrix() {
7      /*
8       * do prvních 3x3 polí dame konvoluční jadro
9       *
10      *   1/8    1/8    1/8
11      *   1/8    1/2    1/8
12      *   1/8    1/8    1/8
13      */
14      double[][] kernelMatrix = new double[matrixXSize][matrixYSize];
15
16      kernelMatrix[0][0] = LOW_KERNEL_MIDDLE_COEF;
17      kernelMatrix[0][1] = LOW_KERNEL_NEIGHBOUR_COEF;
18      kernelMatrix[1][0] = LOW_KERNEL_NEIGHBOUR_COEF;
19      kernelMatrix[matrixXSize - 1][0] = LOW_KERNEL_NEIGHBOUR_COEF;
20      kernelMatrix[0][(matrixYSize / 2) - 1] = LOW_KERNEL_NEIGHBOUR_COEF;
21
22      fFTransformer.realForwardFull(kernelMatrix);
23      return kernelMatrix;
24 }

```

Tab. 8.2 Jádro typu dolní propust'

1/8	1/8	1/8
1/8	1/2	1/8
1/8	1/8	1/8

**Poměrný počet hran** je podíl sumy hran a sumy přeostřených hran. Suma hran je dána součtem jednotlivých prvků matice ostrosti po převodu zpět z vlnového spektra pomocí IFT (Kod. 8.6). Suma přeostřených hran vzniká podobně (Kod. 8.7). Jediný rozdíl je zohlednění prahového hodnoty ostrosti (respektive přeostřenosti).

Kod. 8.6 sumSharpness.java

```

1 /**
2  * Řešete body na hranach, které jsou dostatečně ostre. Za míru ostrosti
3  * povazujeme ostrost obrazu, která je závislá na jeho velikosti.
4  *
5  * @param matrix matice hran
6  * @return "míra ostrosti"
7  */
8 private int sumSharpnessPointOfBorder(double[][] matrix) {
9     return sumOverSharpnessPointOfBorder(matrix, new double[matrixXSize][matrixYSize]);
10 }

```

Kod. 8.7 sumOverSharpness.java

```

1 /* Prah preostřených hran */
2 private static final int BORDER_SHARPNESS_LIMIT = 20;
3
4 /**
5  * Řešete body na hranách, které jsou čestodaten řepeosten.
6  *
7  * @param matrixA matice hran
8  * @param matrixB matice hran bez šumu (aprojekt idoln ípropust)
9  * @return imra řepeostenosti
10 */
11 private int sumOverSharpnessPointOfBorder(double[][] matrixA, double[][] matrixB) {
12     int sum = 0;
13     for (int x = 0; x < matrixXSize; x++) {
14         for (int y = 0; y < matrixYSize / 2; y++) {
15             if (matrixA[x][y * 2] - matrixB[x][y * 2] > BORDER_SHARPNESS_LIMIT) {
16                 sum++;
17             }
18         }
19     }
20     /* imra řepeostenosti */
21     return sum;
22 }

```

**Příklad přeostřenosti fotografie** prezentují obrázky níže. Z původní fotografie (Obr. 8.2) je po oddělení přeostřených hran (Obr. 8.3), ode všech hran (Obr. 8.4), stanoven jejich poměrný koeficient.



Obr. 8.2 Fotografie před úpravou



Obr. 8.3 Vizualizace matice přeostřených hran



Obr. 8.4 Vizualizace matice hran

## 8.2 Fronta nezpracovaných obrázků

Obrázky, které čekají na výpočet KoP, lze vyčíst z DB pomocí SQL dotazu (Kod. 8.8). Priorita nezpracovaných obrázků je dána počtem zhlédnutí webové stránky hotelu. Dávka 10.000 požadavků na výpočet KoP, která je jednorázově načtena z DB, vystačí přibližně na 10 sekund (v závislosti na počtu aktivních slave). Počty shlédnutí jednotlivých hotelů se propisují do DB v reálném čase. Každá nově načtená dávka tudíž zohlední prioritu KoP.

Kod. 8.8 queue.sql

```

1  SELECT
2      pattern.photo AS pattern,
3      compare.photo AS compare,
4      h.visited AS priority
5
6  FROM hotel AS h
7  JOIN hotel_photo AS pattern ON pattern.hotel = hotel.id
8  JOIN hotel_photo AS compare ON compare.hotel = hotel.id AND pattern.photo <> compare.photo
9
10 /* Hledame pouze fotky, u kterych není sponcitana podbnost; zalezi na poradi! */
11 LEFT JOIN similarity AS s ON (s.pattern = pattern.photo AND s.compare = compare.photo)
12     OR (s.pattern = compare.photo AND s.compare = pattern.photo)
13
14 WHERE s IS NULL
15 ORDER BY h.visited DESC NULL LAST
16 LIMIT 10000;

```

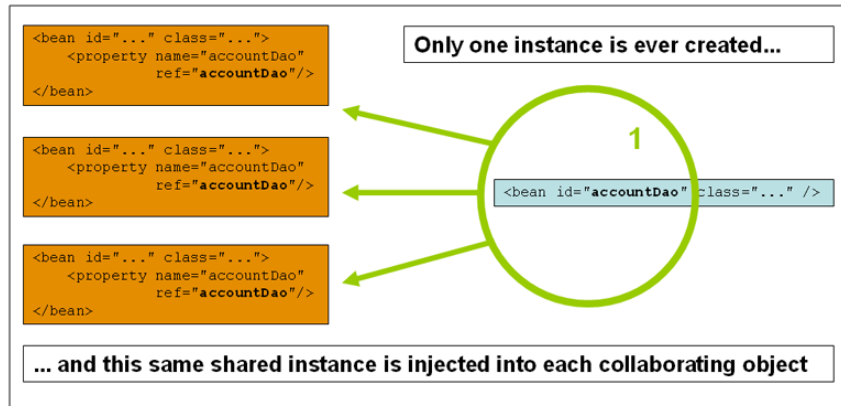
## 8.3 Servlet pro stažení obrázků

Servlet je součást serverové strany. Je realizován pomocí spring bean [36] typu singleton [2] (Obr. 8.5). Na základě vstupní URL adresy [34] (GET dotazu [35]) určí parametr md5. Pomocí něj vyčte z DB relativní cestu na datovém, síťovém úložišti,

kde se fotografie nachází (Kod. 8.9).

Kod. 8.9 servlet.sql

```
1  SELECT relative_path
2  FROM photo
3  WHERE md5 = $arg;
```



Obr. 8.5 Ukázka použití singleton [37]

## 8.4 SOAP API

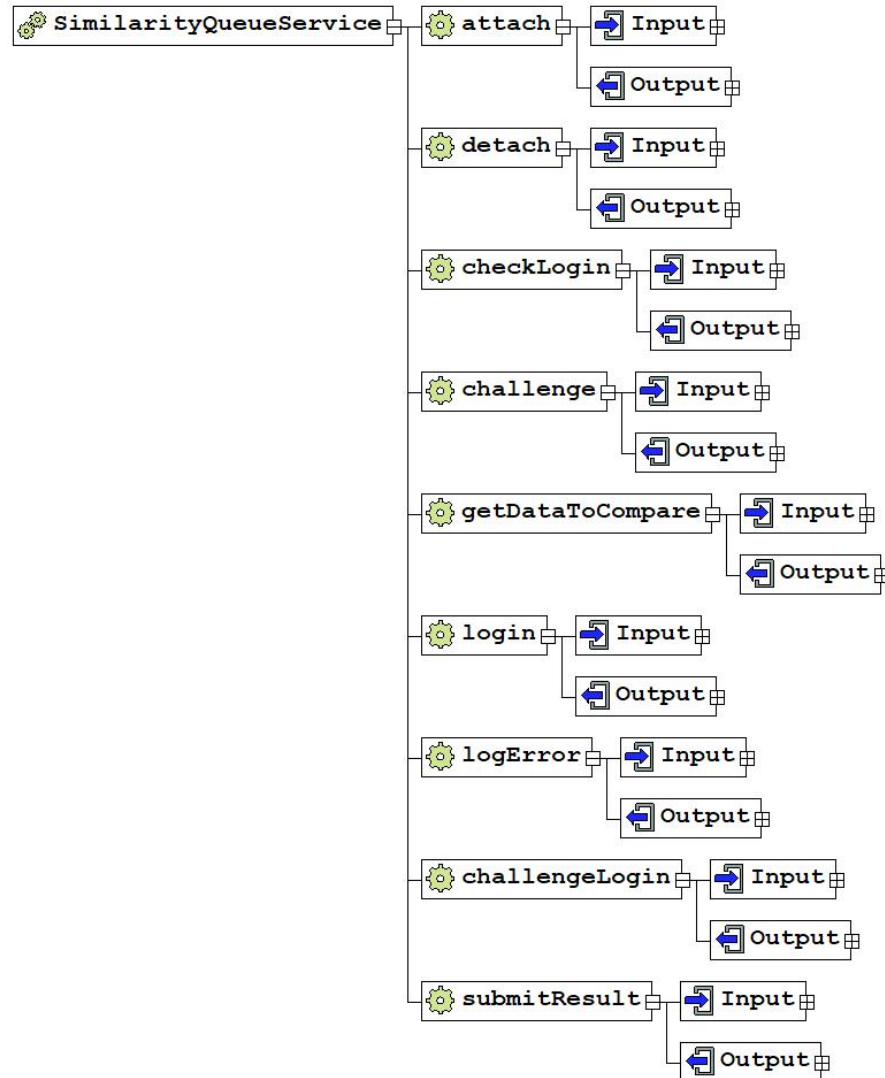
Kompletní komunikační rozhraní ve formátu WSDL [29] je k dispozici na přiloženém CD. Vybranou část WSDL znázorňuje obrázek níže (Obr. 8.6).

### 8.4.1 Autentizace

Aby bylo možné konzumovat vystavené webové služby, je nejprve nutné provést autentizaci. K těmto účelům je použita technika CRAM [31] (někdy také jako challenge-response).

**attach** je metoda (Obr. 8.7), která slouží k navázání vyhrazeného komunikačního kanálu (relace nebo také session [32]) mezi serverem a strojem pro odbavování distribuovaných požadavků (dále jen slave). Jedná se nezabezpečenou metodu (nevyužíva autentizaci). Slouží pouze k zaregistrování slave\_id (jedinečný identifikátor slave) na straně serveru.

**challenge** je metoda, kterou slave žádá server o vytvoření zabezpečeného komunikačního kanálu. Server na tento požadavek reaguje pouze v případě, že se slave prokáže platným slave\_id. V odpovědi server vrací vygenerovanou sůl (pseudonáhodné hexadecimální číslo [33]) potřebnou pro další komunikaci (Obr. 8.8).



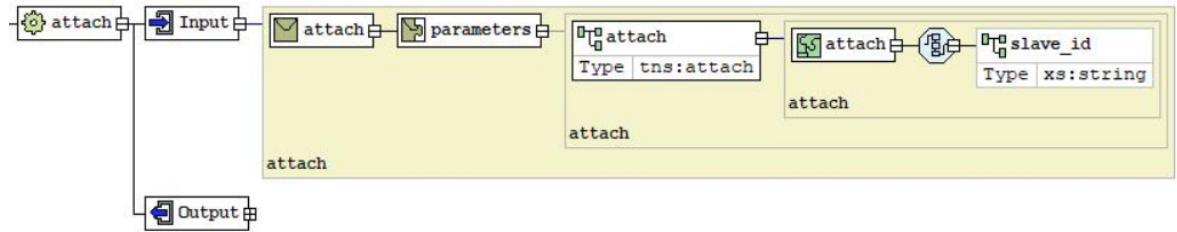
Obr. 8.6 Vizualizace komunikačních metod distribuované služby

*challengeLogin* je metoda pro autentizaci slave. Server i slave provedou nezávisle na sobě výpočet hashe (s přednastaveným hashovacím algoritmem) za použití soli. Slave odešle data (Obr. 8.9) a pokud jsou ve shodě se serverovými, je relace tohoto slave nadále autentizována.

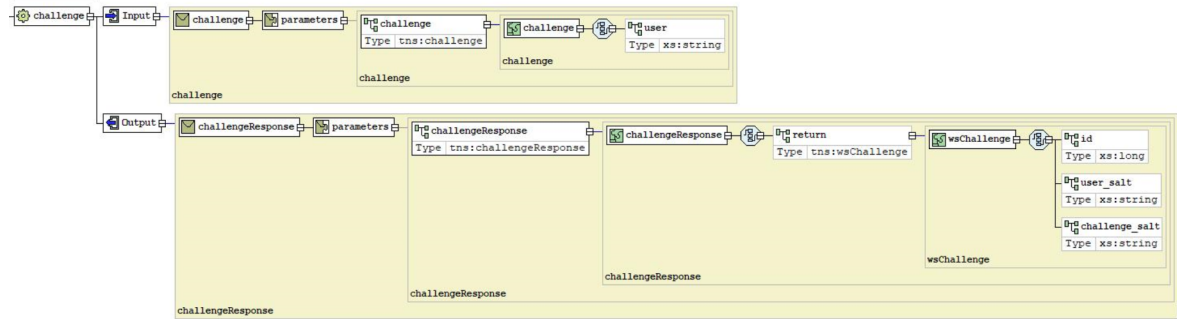
#### 8.4.2 Distribuce požadavků na výpočet KoP

Autentizovaný slave může zažádat o metadata k výpočtu KoP. Pokud jsou ve frontě na výpočet KoP zařazeny nějaké požadavky, jsou vráceny. Jakmile je slave vyhodnotí, odesílá výsledek zpět na server.

*getDataToCompare* je metoda určená pro distribuci výpočtu (metadat k výpočtu) KoP (Obr. 8.10).

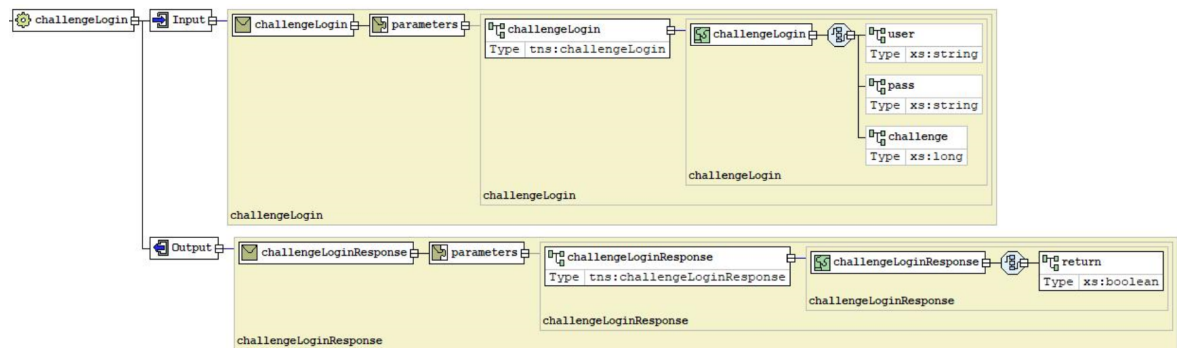


Obr. 8.7 Detail metody attach

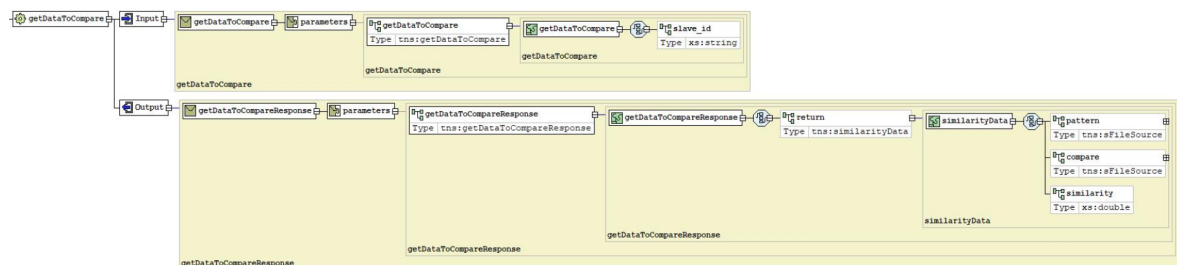


Obr. 8.8 Detail metody challenge

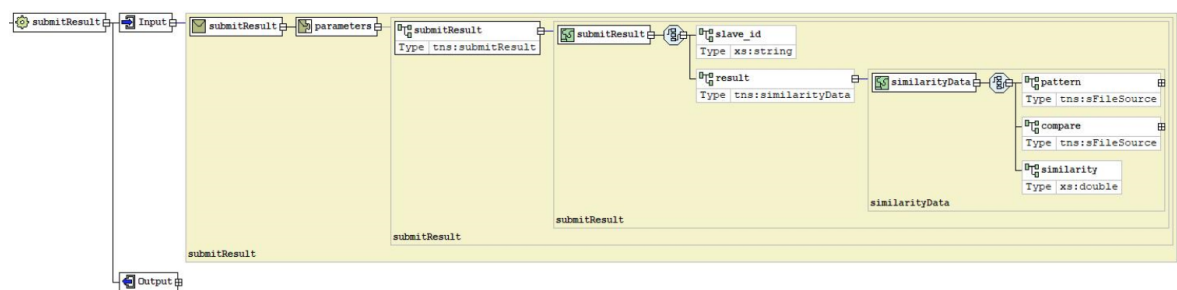
*submitResult* je metoda určená pro odeslání výsledku distribuovaného výpočtu KoP zpět na server (Obr. 8.11).



Obr. 8.9 Detail metody challengeLogin



Obr. 8.10 Detail metody getDataToCompare



Obr. 8.11 Detail metody submitResult

## 9 Klientská strana distribuované služby

Výsledná komponenta pro výpočet KoP je JAR [39] knihovna optimalizovaná pro běh na kancelářském PC. Přesto, že její spuštění je plánováno v čase, kdy je stroj nevyužívaný uživatelem, je možné pohodlně využívat PC i v době, kdy je komponenta aktivní.

Není k dispozici žádné GUI [40]. Knihovna si po startu vytvoří v domovském adresáři uživatele pracovní adresář. V něm se nachází veškerá data i konfigurace, která jsou s komponentou svázána. Je zde potřeba nastavit zejména adresu serveru cílové služby, uživatelské jméno a heslo pro komunikaci aj.

Po navázání spojení s cílovým serverem běží v nekonečné smyčce kontrola nezpracovaných požadavků na výpočet KoP a jejich případně odbavení. Pokud dojde k výpadku odezvy cílového serveru, zkouší se knihovna opakováně připojit v pravidelných intervalech po dobu 15 minut.

### 9.1 Distribuovaný výpočet KoP

V případě úspěšného stažení metadat požadavku na výpočet KoP a následného fyzického stažení samotných fotografií, je zahájen výpočet KoP.

**Úprava velikosti fotografie** se provádí poměrným zvětšením / zmenšením na referenční velikost (Kod. 9.1) podle delší strany vzorové fotografie (při zachování poměru stran). Pokud referenční obrázek poměrem stran neodpovídá vzorovému, je doplněn nulami. Algoritmus použitý pro scaling [41] je na bázi interpolace blízkého okolí (Nearest-neighbor interpolation [42]) a to zejména díky rychlosti provedení.

Kod. 9.1 scale.java

```

1 import javax.media.jai.JAI;
2 ...
3  /* Pozadovaná šířka obrázku */
4  protected static final int BASE_SIZE_WIDTH = 320;
5  /* Pozadovaná výška obrázku */
6  protected static final int BASE_SIZE_HEIGHT = 240;
7 ...
8 /**
9  * Vrati vyrenderovany obrázek v novych rozmerech. Kontroluje vetsi stranu,
10 * podle ktere urci pomer. NEDEFORMUJE pomer stran => Vysledny obrázek je
11 * jeste potreba doplnit nulama, protoze nemusi odpovidat presne zadanim
12 * rozmeru v obouch osach.scaledIimage@param image originalni obrázek
13 *
14 * @param scaleToWidth pozadovaná šířka, do ktere se ma obrázek scalovat
15 * @param scaleToHeight pozadovaná výška, do ktere se ma obrázek scalovat
16 *
17 * @return obrázek v novych rozmerech
18 */
19 protected RenderedImage scale(RenderedImage image, int scaleToWidth, int scaleToHeight) {
20     RenderedOp rescale = null;
21     final int originalWidth = image.getWidth();
22     final int originalHeight = image.getHeight();
23
24     float widthRatio = (float) scaleToWidth / (float) originalWidth;
25     float heightRatio = (float) scaleToHeight / (float) originalHeight;
26
27     float ratio = Math.min(widthRatio, heightRatio);
28
29     // Scales the original image
30     ParameterBlock pb = new ParameterBlock();
31     pb.addSource(image);
32     pb.add(ratio);
33     pb.add(0.0f);
34     pb.add(0.0f);
35     pb.add(new InterpolationNearest());
36
37     // Creates a new, scaled image and uses it on the DisplayJAI component
38     rescale = JAI.create("scale", pb);
39
40     return rescale;
41 }
42

```

**Světlostní matice** se tvoří stejně jako u výpočtu KoZ. Jediný rozdíl je v tom, že nyní se převádí do světlostní matice zmenšený obrázek (nikoliv originál v plné velikosti). Může tedy dojít k lehké modifikaci světlostní matice na základě zvoleného algoritmu pro scaling [41] obrázku.

**Normalizace** světlostní matice převedené pomocí DFT do vlnového spektra připraví matici vzorového i referenčního obrázku na křížovou korelací (Kod. 9.2). Podělí reálnou i imaginární část absolutní hodnotou komplexního čísla.

Kod. 9.2 NormalizedFTMatrix.java

```

1  protected double[][] buildNormalizedFTMatrix(RenderedImage scaledModelImage) {
2      /* Obrazek prevedeny do matici, px = cross corel value */
3      double[][] matrixImage = buildBrightnessMatrix(scaledModelImage);
4      /* Obrazek je již prevedeny furierovou transformaci */
5      /* Puvodni pole preberne novou hodnotu */
6      FFTransformer.realForwardFull(matrixImage);
7      /* Normovaní Fourierovi transformace obrazku */
8      for (int x = 0; x < matrixXSize; x++) {
9          for (int y = 0; y < matrixYSize / 2; y++) {
10             /* bereme sude y => reálné číslo */
11             final int realPartOfMatrixFieldY = 2 * y + 1;
12             final double realPart = matrixImage[x][realPartOfMatrixFieldY];
13
14             /* bereme liche y => imaginární číslo */
15             final int imagPartOfMatrixFieldY = 2 * y + 1;
16             final double imagPart = matrixImage[x][imagPartOfMatrixFieldY];
17
18             /* absolutní hodnota komplexního čísla */
19             double absoluteMatrixFieldValue = Math.sqrt(imagPart * imagPart + realPart * realPart);
20
21             /*
22              * Pokud vyjde nula, tak obecně doslo k tomu, že pro nejakou
23              * močinu dvou 2^k je v nejakém radku nebo sloupci kazdej
24              * 2^k-ty pixel stejně
25              */
26             if (absoluteMatrixFieldValue != 0) {
27                 Preconditions.checkNotNull(absoluteMatrixFieldValue != 0, "Nulou nelze delit.");
28                 matrixImage[x][realPartOfMatrixFieldY] /= absoluteMatrixFieldValue;
29                 matrixImage[x][imagPartOfMatrixFieldY] /= absoluteMatrixFieldValue;
30             }
31         }
32     }
33     return matrixImage;
34 }
```

**Křížová korelace** vytvoří výslednou matici z matice vzorového obrázku a komplexně sdružené matice referenčního obrázku (Kod. 9.3). Matice se stále ještě nachází ve vlnovém spektru.

Kod. 9.3 CrossCorrelation.java

```

1 /**
2  * Krízova korelace ve vlnovem spektru.
3  *
4  * @param a normovaná matica FT vzoru
5  * @param b normovaná matica FT obrazu
6  * @return a .* b' (vynásobim prvek po prvku a a b, pricemz b je komplexne
7  * zrdzuena)
8 */
9 protected double[][] crossCorrelation(double[][] a, double[][] b) {
10     double[][] result = new double[matrixXSize][matrixYSize];
11     for (int x = 0; x < matrixXSize; x++) {
12         for (int y = 0; y < matrixYSize / 2; y++) {
13             final double realPartA = a[x][2 * y];
14             final double realPartB = b[x][2 * y];
15             final double imagPartA = a[x][2 * y + 1];
16             final double imagPartB = b[x][2 * y + 1];
17
18             /* reálna cast výsledné matice */
19             result[x][2 * y] = realPartA * realPartB + imagPartA * imagPartB;
20             /* imaginární cast výsledné matice */
21             result[x][2 * y + 1] = realPartA * imagPartB - imagPartA * realPartB;
22         }
23     }
24     return result;
}
```

**KoP** udává největší číselná hodnota ve výsledné matici křížové korelace zpět po převodu z vlnového spektra pomocí IFT (Kod. 9.4).

## Kod. 9.4 maxCorrelationCoefficient.java

```
1  public double maxCorrelationCoefficient(double[][] matrix) {
2      double max = 0;
3      for (int x = 0; x < matrixXSize; x++) {
4          for (int y = 0; y < matrixYSize / 2; y++) {
5              max = Math.max(
6                  Math.abs(matrix[x][y * 2]),
7                  max);
8          }
9      }
10     return max;
11 }
12 }
```

## ZÁVĚR

Zadání práce bylo splněno ve všech bodech. Výsledný produkt byl spuštěn v produkčním provozu. Možným námětem na rozšíření je podpora CMYK [38] formátu barev. Aplikované algoritmy jsou optimalizované na zpracování RGB formátu barev.

Během realizace byl identifikován možný bod rozšíření algoritmu na výpočet KoP. Jak se ukázalo, některé fotografie jsou vůči sobě pootočené v prostoru. V úvodu práce je této problematice věnován odstavec v teoretické části. Lidské oko vyhodnotí tyto fotografie jako duplicitní. Použité algoritmy tuto problematiku neřeší.

Níže jsou výsledky testovacího vzorku (35 fotografií vybraného hotelu). Na základě určeného koeficientu podobnosti KoP (Tab. 9.1) lze rozdělit fotografie na obsahově unikátní a duplicitní. Celkem bylo v testovacím vzorku nalezeno 19 obsahově unikátních fotografií.

Tab. 9.1 Výsledky porovnání KoP 35 hotelových fotografií

	<b>1</b>	<b>2</b>	<b>3</b>	<b>4</b>	<b>5</b>	<b>6</b>	<b>7</b>	<b>8</b>	<b>9</b>	<b>10</b>	<b>11</b>	<b>12</b>	<b>13</b>	<b>14</b>	<b>15</b>	<b>16</b>	<b>17</b>	<b>18</b>	<b>19</b>	<b>20</b>	<b>21</b>	<b>22</b>	<b>23</b>	<b>24</b>	<b>25</b>	<b>26</b>	<b>27</b>	<b>28</b>	<b>29</b>	<b>30</b>	<b>31</b>	<b>32</b>	<b>33</b>	<b>34</b>	<b>35</b>			
<b>1</b>	1,000	0,645	<b>0,440</b>	<b>0,669</b>	<b>0,407</b>	<b>0,948</b>	<b>0,174</b>	<b>0,655</b>	0,018	0,018	0,017	0,019	0,016	0,017	0,016	0,017	0,017	0,016	0,017	0,018	0,018	0,018	0,018	0,018	0,020	0,018	0,018	0,018	0,018	0,018	0,016	0,016	0,016	0,016	0,016			
<b>2</b>	<b>0,645</b>	1,000	0,426	0,925	0,524	0,638	<b>0,161</b>	<b>0,876</b>	0,016	0,018	0,017	0,016	0,017	0,016	0,016	0,018	0,018	0,017	0,017	0,017	0,017	0,017	0,017	0,017	0,017	0,017	0,017	0,017	0,017	0,017	0,017	0,017	0,017	0,017	0,017			
<b>3</b>	0,440	0,426	1,000	<b>0,448</b>	<b>0,520</b>	<b>0,432</b>	<b>0,340</b>	<b>0,421</b>	0,018	0,018	0,020	0,018	0,017	0,016	0,017	0,018	0,018	0,016	0,018	0,018	0,017	0,017	0,017	0,017	0,017	0,017	0,017	0,017	0,017	0,017	0,017	0,017	0,017	0,017				
<b>4</b>	0,669	<b>0,925</b>	<b>0,448</b>	1,000	<b>0,547</b>	<b>0,661</b>	<b>0,472</b>	<b>0,877</b>	0,017	0,020	0,017	0,015	0,017	0,017	0,016	0,016	0,018	0,018	0,016	0,017	0,017	0,017	0,017	0,017	0,017	0,017	0,017	0,017	0,017	0,017	0,017	0,017	0,017	0,017				
<b>5</b>	<b>0,407</b>	<b>0,521</b>	<b>0,520</b>	<b>0,547</b>	1,000	<b>0,401</b>	<b>0,151</b>	<b>0,522</b>	0,018	0,019	0,021	0,016	0,019	0,016	0,017	0,017	0,018	0,018	0,017	0,017	0,017	0,017	0,017	0,017	0,017	0,017	0,017	0,017	0,017	0,017	0,017	0,017	0,017	0,017				
<b>6</b>	<b>0,948</b>	<b>0,638</b>	<b>0,432</b>	<b>0,661</b>	<b>0,401</b>	1,000	<b>0,171</b>	<b>0,650</b>	0,020	0,017	0,017	0,017	0,019	0,015	0,017	0,016	0,017	0,016	0,016	0,018	0,017	0,016	0,017	0,016	0,017	0,016	0,017	0,016	0,017	0,016	0,017	0,017	0,017					
<b>7</b>	0,174	<b>0,161</b>	<b>0,140</b>	<b>0,172</b>	<b>0,151</b>	<b>0,171</b>	1,000	<b>0,173</b>	0,017	0,018	0,016	0,016	0,019	0,019	0,018	0,017	0,016	0,019	0,016	0,018	0,016	0,018	0,016	0,018	0,017	0,017	0,017	0,017	0,017	0,017	0,017	0,017	0,017	0,017				
<b>8</b>	0,655	<b>0,876</b>	<b>0,421</b>	<b>0,877</b>	<b>0,522</b>	<b>0,173</b>	1,000	<b>0,171</b>	0,018	0,018	0,018	0,016	0,016	0,016	0,017	0,017	0,018	0,018	0,017	0,017	0,018	0,018	0,017	0,017	0,017	0,017	0,017	0,017	0,017	0,017	0,017	0,017	0,017					
<b>9</b>	0,018	0,018	0,018	0,017	0,018	0,019	0,017	0,018	0,019	0,021	0,020	0,017	0,017	0,017	0,017	0,017	0,017	0,017	0,017	0,017	0,017	0,017	0,017	0,017	0,017	0,017	0,017	0,017	0,017	0,017	0,017	0,017						
<b>10</b>	0,018	0,018	0,020	0,019	0,020	0,017	0,018	0,019	0,019	0,022	0,017	0,019	0,019	0,018	0,018	0,018	0,019	0,018	0,022	0,018	0,020	0,020	0,019	0,017	0,017	0,019	0,022	0,022	0,018	0,018	0,017	0,017	0,017					
<b>11</b>	0,018	0,017	0,020	0,017	0,024	0,017	0,016	0,018	<b>0,217</b>	<b>0,232</b>	1,000	0,021	0,018	0,019	0,020	0,024	0,018	0,018	0,016	0,018	0,020	0,021	0,021	0,020	0,018	0,020	0,022	0,022	0,018	0,017	0,018	0,018	0,017	0,017				
<b>12</b>	0,017	0,016	0,018	0,015	0,016	0,016	0,017	0,021	0,022	0,021	1,000	0,020	0,018	0,017	0,017	0,017	0,016	0,017	0,017	0,020	0,016	0,017	0,017	0,020	0,027	0,018	0,018	0,017	0,017	0,016	0,017	0,017	0,017	0,017				
<b>13</b>	0,019	0,017	0,017	0,017	0,019	0,019	0,016	0,019	0,017	0,018	0,020	1,000	0,023	<b>0,572</b>	<b>0,174</b>	0,016	0,017	0,017	0,019	0,021	0,019	0,017	0,019	0,018	0,028	0,018	0,019	0,020	0,017	0,018	0,017	0,017	0,017	0,017				
<b>14</b>	0,016	0,016	0,016	0,016	0,015	0,019	0,016	0,019	0,019	0,018	0,023	1,000	0,021	0,022	0,016	0,016	0,017	0,018	0,018	0,016	0,017	0,017	0,017	0,020	0,023	0,020	0,017	0,021	0,020	0,017	0,017	0,017	0,017	0,017				
<b>15</b>	0,017	0,018	0,017	0,018	0,017	0,017	0,018	0,018	0,019	0,019	0,020	0,017	<b>0,572</b>	0,021	1,000	<b>0,158</b>	0,018	0,017	0,018	0,018	0,019	0,021	0,017	0,018	0,020	0,023	0,020	0,019	0,020	0,019	0,018	0,018	0,018	0,018	0,018			
<b>16</b>	0,016	0,018	0,018	0,018	0,017	0,017	0,017	0,018	0,018	0,024	0,017	<b>0,174</b>	0,022	<b>0,158</b>	1,000	0,019	0,019	0,018	0,018	0,019	0,022	0,018	0,020	0,019	0,021	0,020	0,019	0,022	0,018	0,018	0,017	0,017	0,017	0,017				
<b>17</b>	0,017	0,017	0,018	0,016	0,018	0,017	0,017	0,017	0,018	0,018	0,016	0,017	0,016	0,017	0,019	0,019	<b>0,160</b>	<b>0,154</b>	0,017	0,017	0,016	0,018	0,017	0,017	0,017	0,018	0,017	0,017	0,017	0,017	0,017	0,017	0,017	0,017	0,017	0,017		
<b>18</b>	0,017	0,017	0,016	0,017	0,018	0,016	0,018	0,018	0,016	0,016	0,016	0,017	0,017	0,019	<b>0,160</b>	1,000	<b>0,810</b>	0,020	0,017	0,019	0,018	0,016	0,021	0,016	0,017	0,018	0,017	0,017	0,017	0,018	0,017	0,017	0,017	0,017	0,017			
<b>19</b>	0,016	0,017	0,018	0,016	0,018	0,016	0,015	0,016	0,016	0,017	0,018	0,017	0,018	0,019	<b>0,154</b>	<b>0,810</b>	1,000	0,017	0,018	0,016	0,017	0,019	0,019	0,017	0,016	0,017	0,017	0,016	0,017	0,017	0,016	0,017	0,016	0,016	0,016			
<b>20</b>	0,019	0,017	0,018	0,017	0,018	0,016	0,019	0,020	0,019	0,017	0,017	0,017	0,018	0,019	0,017	0,017	0,017	0,017	0,017	0,017	0,017	0,017	0,017	0,017	0,017	0,017	0,017	0,017	0,017	0,017	0,017	0,017	0,017	0,017				
<b>21</b>	0,018	0,017	0,018	0,018	0,017	0,017	0,018	0,018	0,019	0,019	0,020	0,019	0,018	0,017	0,018	0,018	0,019	<b>1,000</b>	<b>0,102</b>	0,017	0,018	0,019	0,018	0,019	0,018	0,019	0,018	0,019	0,018	0,019	0,018	0,019	0,018	0,019	0,018	0,019	0,018	0,019
<b>22</b>	0,017	0,016	0,016	0,017	0,018	0,016	0,016	0,020	0,018	0,021	0,016	0,017	0,019	0,016	0,021	0,021	0,017	0,018	0,019	0,016	0,019	0,016	0,022	0,018	0,016	0,019	0,021	0,020	0,019	0,018	0,017	0,017	0,017	0,017				
<b>23</b>	0,016	0,018	0,017	0,016	0,017	0,016	0,016	0,023	0,020	0,021	0,017	0,019	0,017	0,021	0,021	0,018	0,018	0,019	0,016	0,017	0,026	0,001	<b>0,524</b>	0,019	0,016	0,018	0,017	0,020	0,020	0,019	0,016	0,018	0,018	0,017				
<b>24</b>	0,018	0,017	0,017	0,016	0,016	0,018	0,017	0,018	0,020	0,021	0,018	0,019	0,017	0,017	0,020	0,017	0,016	0,017	0,018	0,016	0,018	0,017	0,017	0,017	0,017	0,017	0,017	0,017	0,017	0,017	0,017	0,017	0,017					
<b>25</b>	0,018	0,017	0,017	0,019	0,018	0,018	0,020	0,018	0,020	0,019	0,020	0,017	0,017	0,020	0,019	0,018	0,021	0,017	0,017	0,019	0,022	0,019	0,018	0,024	1,000	0,018	0,017	0,017	0,017	0,017	0,017	0,017	0,017	0,017	0,017			
<b>26</b>	0,018	0,016	0,019	0,015	0,016	0,019	0,016	0,018	0,017	0,018	0,016	0,016	0,016	0,017	0,017	0,017	0,016	0,015	0,017	0,017	0,018	0,016	0,018	0,016	0,017	0,016	0,017	0,016	0,017	0,016	0,017	0,016	0,016	0,016	0,016	0,016		
<b>27</b> </td																																						



Obr. 9.1 Fotografie 1



Obr. 9.2 Fotografie 2



Obr. 9.3 Fotografie 3



Obr. 9.4 Fotografie 4



Obr. 9.5 Fotografie 5



Obr. 9.6 Fotografie 6



Obr. 9.7 Fotografie 7



Obr. 9.8 Fotografie 8

Tab. 9.2 Výsledky porovnání KoZ na 8 podobných fotografiích dle KoP

	Sharpens	OverSharpness	KoZ
<b>Fotografie 1</b>	8922	432	<b>35,69</b>
Fotografie 2	13228	662	32,11
Fotografie 3	1431	1	5,72
Fotografie 4	5963	115	23,85
Fotografie 5	412	0	1,65
Fotografie 6	10900	748	21,89
<b>Fotografie 7</b>	261	0	<b>1,04</b>
Fotografie 8	8586	437	34,34



Obr. 9.9 Fotografie s nejvyšším KoZ (nejkvalitnější)



Obr. 9.10 Fotografie s nejnižším KoZ (nejméně kvalitní)

## SEZNAM POUŽITÉ LITERATURY

- [1] ECKEL, Bruce. *Thinking in Java*. 4th ed. Upper Saddle River, NJ: Prentice Hall, c2006. ISBN 01-318-7248-6.
- [2] WALLS, Craig. *Spring in action*. Fourth edition. Texas: Manning, 2013. ISBN 978-161-7291-203.
- [3] HUNT, Charlie a Binu JOHN. *Java performance*. Upper Saddle River, NJ: Addison-Wesley, c2012. Java series. ISBN 01-371-4252-8.
- [4] PERŮTKA, Karel. *MATLAB - Základy pro studenty automatizace a informačních technologií*. Zlín: Univerzita Tomáše Bati ve Zlíně, 2005. ISBN 80-731-8355-2.
- [5] DOBEŠ, Michal. *Zpracování obrazu a algoritmy v C#*. Praha: BEN - technická literatura, 2008. ISBN 978-80-7300-233-6.
- [6] MD5. In: *Wikipedia: the free encyclopedia* [online]. San Francisco (CA): Wikimedia Foundation, 2001- [cit. 2018-05-08]. Dostupné z: <https://en.wikipedia.org/wiki/MD5>.
- [7] Computer vision [online]. [cit. 2018-05-08]. Dostupný z: [http://midas.uamt.feec.vutbr.cz/ZVS/Exercise02/content\\_cz.php](http://midas.uamt.feec.vutbr.cz/ZVS/Exercise02/content_cz.php).
- [8] Pixel. In: *Wikipedia: the free encyclopedia* [online]. San Francisco (CA): Wikimedia Foundation, 2001- [cit. 2018-05-08]. Dostupné z: <https://cs.wikipedia.org/wiki/Pixel>.
- [9] RGB. In: *Wikipedia: the free encyclopedia* [online]. San Francisco (CA): Wikimedia Foundation, 2001- [cit. 2018-05-08]. Dostupné z: <https://cs.wikipedia.org/wiki/RGB>.
- [10] IEEE Transactions on Computers [online]. 1972, **C-21**(2), 179–186 [cit. 2018-05-08]. DOI: 10.1109/TC.1972.5008923. ISSN 0018-9340. Dostupné z: <http://ieeexplore.ieee.org/document/5008923/>.
- [11] Korelace. In: *Wikipedia: the free encyclopedia* [online]. San Francisco (CA): Wikimedia Foundation, 2001- [cit. 2018-05-09]. Dostupné z: <https://cs.wikipedia.org/wiki/Korelace>.
- [12] Cross-correlation. In: *Wikipedia: the free encyclopedia* [online]. San Francisco (CA): Wikimedia Foundation, 2001- [cit. 2018-05-09]. Dostupné z: <https://en.wikipedia.org/wiki/Cross-correlation>.

- [13] *FFTW* [online]. [cit. 2018-05-08]. Dostupný z: <http://www.fftw.org>.
- [14] The Design and Implementation of FFTW3. In: *Proceedings of the IEEE* [online]. 2005, **93**(2), s. 216–231 [cit. 2018-05-08]. DOI: 10.1109/JPROC.2004.840301. ISSN 0018-9219. Dostupné z: <http://ieeexplore.ieee.org/document/1386650>.
- [15] *IEEE Transactions on Image Processing* [online]. **5**(8), 1266-1271 [cit. 2018-05-08]. DOI: 10.1109/83.506761. ISSN 10577149. Dostupné z: <http://ieeexplore.ieee.org/document/506761/>.
- [16] *Shared Scientific Toolbox in Java* [online]. [cit. 2018-05-08]. Dostupné z: <http://freshmeat.sourceforge.net/projects/shared>.
- [17] *CMake* [online]. [cit. 2018-05-08]. Dostupný z: <https://cmake.org>.
- [18] Wrapper. In: *Wikipedia: the free encyclopedia* [online]. San Francisco (CA): Wikimedia Foundation, 2001- [cit. 2018-05-09]. Dostupné z: <https://en.wikipedia.org/wiki/Wrapper>.
- [19] In: *Wikipedia: the free encyclopedia* [online]. San Francisco (CA): Wikimedia Foundation, 2001- [cit. 2018-05-10]. Dostupné z: <https://cs.wikipedia.org/wiki/Konvolute>.
- [20] Detekce hran. In: *Wikipedia: the free encyclopedia* [online]. San Francisco (CA): Wikimedia Foundation, 2001- [cit. 2018-05-10]. Dostupné z: [https://cs.wikipedia.org/wiki/Detekce\\_hran](https://cs.wikipedia.org/wiki/Detekce_hran).
- [21] SOAP. In: *Wikipedia: the free encyclopedia* [online]. San Francisco (CA): Wikimedia Foundation, 2001- [cit. 2018-05-10]. Dostupné z: <https://en.wikipedia.org/wiki/SOAP>.
- [22] Centrální procesorová jednotka. In: *Wikipedia: the free encyclopedia* [online]. San Francisco (CA): Wikimedia Foundation, 2001- [cit. 2018-05-10]. Dostupné z: [https://cs.wikipedia.org/wiki/Centr%C3%A1ln%C3%AD\\_procesorov%C3%A1\\_jednotka](https://cs.wikipedia.org/wiki/Centr%C3%A1ln%C3%AD_procesorov%C3%A1_jednotka).
- [23] YANG, Jianchao, Kai YU, Yihong GONG a Thomas HUANG. *Linear Spatial Pyramid Matching Using Sparse Coding for Image Classification* [online]. NEC Laboratories America, Cupertino, CA 95014, USA, 2009 [cit. 2018-05-20]. Dostupné z: <http://www.ifp.illinois.edu/~jyang29/papers/CVPR09-ScSPM.pdf>. Vědecká práce. Beckman Institute, University of Illinois at Urbana-Champaign.

- [24] Graphic processing unit. In: *Wikipedia: the free encyclopedia* [online]. San Francisco (CA): Wikimedia Foundation, 2001- [cit. 2018-05-10]. Dostupné z: [https://en.wikipedia.org/wiki/Graphics\\_processing\\_unit](https://en.wikipedia.org/wiki/Graphics_processing_unit).
- [25] Java (programovací jazyk). In: *Wikipedia: the free encyclopedia* [online]. San Francisco (CA): Wikimedia Foundation, 2001- [cit. 2018-05-10]. Dostupné z: [https://cs.wikipedia.org/wiki/Java\\_\(programovac%C3%AD\\_jazyk\)](https://cs.wikipedia.org/wiki/Java_(programovac%C3%AD_jazyk)).
- [26] *CUDA Toolkit Documentation* [online]. March 5, 2018 [cit. 2018-05-16]. Dostupné z: <https://docs.nvidia.com/cuda/>.
- [27] Java Platform, Standard Edition. In: *Wikipedia: the free encyclopedia* [online]. San Francisco (CA): Wikimedia Foundation, 2001- [cit. 2018-05-16]. Dostupné z: [https://en.wikipedia.org/wiki/Java\\_Platform,\\_Standard\\_Edition](https://en.wikipedia.org/wiki/Java_Platform,_Standard_Edition).
- [28] *Spring* [online]. 2018 [cit. 2018-05-16]. Dostupné z: <https://spring.io/>.
- [29] Web Services Description Language. In: *Wikipedia: the free encyclopedia* [online]. San Francisco (CA): Wikimedia Foundation, 2001- [cit. 2018-05-16]. Dostupné z: [https://en.wikipedia.org/wiki/Web\\_Services\\_Description\\_Language](https://en.wikipedia.org/wiki/Web_Services_Description_Language).
- [30] *POSTGRESQL: THE WORLD'S MOST ADVANCED OPEN SOURCE RELATIONAL DATABASE* [online]. The PostgreSQL Global Development Group, 2018 [cit. 2018-05-16]. Dostupné z: <https://www.postgresql.org/>.
- [31] Challenge-response. In: *Wikipedia: the free encyclopedia* [online]. San Francisco (CA): Wikimedia Foundation, 2001- [cit. 2018-05-16]. Dostupné z: <https://cs.wikipedia.org/wiki/Challenge-response>.
- [32] Session. In: *Wikipedia: the free encyclopedia* [online]. San Francisco (CA): Wikimedia Foundation, 2001- [cit. 2018-05-16]. Dostupné z: <https://cs.wikipedia.org/wiki/Session>.
- [33] Sůl (kryptografie). In: *Wikipedia: the free encyclopedia* [online]. San Francisco (CA): Wikimedia Foundation, 2001- [cit. 2018-05-16]. Dostupné z: [https://cs.wikipedia.org/wiki/S%C5%AFl\\_\(kryptografie\)](https://cs.wikipedia.org/wiki/S%C5%AFl_(kryptografie)).
- [34] URL. In: *Wikipedia: the free encyclopedia* [online]. San Francisco (CA): Wikimedia Foundation, 2001- [cit. 2018-05-17]. Dostupné z: <https://en.wikipedia.org/wiki/URL>.
- [35] GET. In: *Wikipedia: the free encyclopedia* [online]. San Francisco (CA): Wikimedia Foundation, 2001- [cit. 2018-05-17]. Dostupné z: <https://cs.wikipedia.org/wiki/GET>.

- [36] JavaBeans. In: *Wikipedia: the free encyclopedia* [online]. San Francisco (CA): Wikimedia Foundation, 2001- [cit. 2018-05-17]. Dostupné z: <https://en.wikipedia.org/wiki/JavaBeans>.
- [37] Bean scopes [online]. [cit. 2018-05-17]. Dostupné z: <https://docs.spring.io/spring/docs/3.0.0.M3/reference/html/ch04s04.html>.
- [38] CMYK color model. In: *Wikipedia: the free encyclopedia* [online]. San Francisco (CA): Wikimedia Foundation, 2001- [cit. 2018-05-18]. Dostupné z: [https://en.wikipedia.org/wiki/CMYK\\_color\\_model](https://en.wikipedia.org/wiki/CMYK_color_model).
- [39] JAR (file format). In: *Wikipedia: the free encyclopedia* [online]. San Francisco (CA): Wikimedia Foundation, 2001- [cit. 2018-05-18]. Dostupné z: [https://en.wikipedia.org/wiki/JAR\\_\(file\\_format\)](https://en.wikipedia.org/wiki/JAR_(file_format)).
- [40] Graphical user interface. In: *Wikipedia: the free encyclopedia* [online]. San Francisco (CA): Wikimedia Foundation, 2001- [cit. 2018-05-18]. Dostupné z: [https://en.wikipedia.org/wiki/Graphical\\_user\\_interface](https://en.wikipedia.org/wiki/Graphical_user_interface).
- [41] Image Scaling. In: *Wikipedia: the free encyclopedia* [online]. San Francisco (CA): Wikimedia Foundation, 2001- [cit. 2018-05-18]. Dostupné z: [https://en.wikipedia.org/wiki/Image\\_scaling](https://en.wikipedia.org/wiki/Image_scaling).
- [42] Nearest-neighbor interpolation. In: *Wikipedia: the free encyclopedia* [online]. San Francisco (CA): Wikimedia Foundation, 2001- [cit. 2018-05-18]. Dostupné z: [https://en.wikipedia.org/wiki/Nearest-neighbor\\_interpolation](https://en.wikipedia.org/wiki/Nearest-neighbor_interpolation).

**SEZNAM POUŽITÝCH SYMBOLŮ A ZKRATEK**

API	Application Programming Interface
CD	Compact Disc
CPU	Central Processing Unit
CRUM	Challenge-Response Authentication Mechanism
CUDA	Compute Unified Device Architecture
DFT	Discrete Fourier Transform (Diskrétní Fourierova transformace)
FFTW	Fastest Fourier Transform in the West
GPU	Graphic Processing Unit
GUI	Graphical User Interface
HW	Hardware
IFT	Inverse Fourier Transform (Zpětná Fourierova transformace)
JAR	Java ARchive
JavaSE	Java Platform, Standard Edition
KoP	Koefficient podobnosti dvou fotografií
KoZ	Koefficient zastupitelnosti vzájemně si podobných fotografií
MD5	Message-Digest algorithm
PC	Personal Computer
px	picture element (obrazový prvek)
SOAP	Simple Object Access Protocol
SVM	Support Vector Machine
SW	Software
URL	Uniform Resource Locator
WSDL	Web Services Description Language

**SEZNAM OBRÁZKŮ**

2.1	Statický scaling obrázků (komutativní) . . . . .	16
2.2	Dynamický scaling obrázků (diskomutativní) . . . . .	16
2.3	Příklad proložení dvou fotografií s použitím klasické korelace . . . . .	18
2.4	Příklad proložení dvou fotografií s použitím křížové korelace . . . . .	18
3.1	Příklad Diskrétní 2D konvoluce [19] . . . . .	20
6.1	Vizualizace procesu výpočtu koeficientů na CPU . . . . .	32
6.2	Vizualizace procesu výpočtu koeficientů na CPU s paralelizací na GPU	33
7.1	L1 pohled aktuálního stavu . . . . .	36
7.2	L1 pohled cílového stavu . . . . .	36
7.3	Funkční požadavky . . . . .	37
7.4	Nefunkční požadavky . . . . .	37
7.5	Aktéři . . . . .	38
7.6	Případy užití . . . . .	38
7.7	Model tříd . . . . .	39
7.8	Model služeb . . . . .	39
7.9	Sekvenční diagram . . . . .	40
8.1	Náhled administrace uložených fotografií . . . . .	41
8.2	Fotografie před úpravou . . . . .	45
8.3	Vizualizace matice přeostřených hran . . . . .	45
8.4	Vizualizace matice hran . . . . .	46
8.5	Ukázka použití singleton [37] . . . . .	47
8.6	Vizualizace komunikačních metod distribuované služby . . . . .	48
8.7	Detail metody attach . . . . .	49
8.8	Detail metody challenge . . . . .	49
8.9	Detail metody challengeLogin . . . . .	50
8.10	Detail metody getDataToCompare . . . . .	50
8.11	Detail metody submitResult . . . . .	50
9.1	Fotografie 1 . . . . .	55
9.2	Fotografie 2 . . . . .	55
9.3	Fotografie 3 . . . . .	55
9.4	Fotografie 4 . . . . .	55
9.5	Fotografie 5 . . . . .	55
9.6	Fotografie 6 . . . . .	55
9.7	Fotografie 7 . . . . .	55
9.8	Fotografie 8 . . . . .	55
9.9	Fotografie s nejvyšším KoZ (nejkvalitnější) . . . . .	56

9.10 Fotografie s nejnižším KoZ (nejméně kvalitní) . . . . . 56

**SEZNAM TABULEK**

3.1	Jádro pro detekci hran (horizontálně a vertikálně) . . . . .	21
3.2	Jádro pro detekci hran (horizontálně, vertikálně a šíkmé hrany) . . . . .	21
5.1	Tabulka výsledků jednotlivých variant krátkodobého testu . . . . .	26
5.2	Tabulka výsledků jednotlivých variant krátkodobého testu . . . . .	26
8.1	Jádro typu horní propust̄ . . . . .	43
8.2	Jádro typu dolní propust̄ . . . . .	44
9.1	Výsledky porovnání KoP 35 hotelových fotografií . . . . .	54
9.2	Výsledky porovnání KoZ na 8 podobných fotografiích dle KoP . . . . .	55

## SEZNAM ZDROJOVÉHO KÓDU

6.1	banchmark-cpu.m	29
6.2	banchmark-gpu.m	30
6.3	banchmark-koz-cpu.m	31
8.1	SharpnessCore.java	41
8.2	BrightnessMatrix.java	42
8.3	FTHighKernelMatrix.java	43
8.4	ConvolutionMatrix.java	43
8.5	FTLowKernelMatrix.java	44
8.6	sumSharpness.java	44
8.7	sumOverSharpness.java	44
8.8	queue.sql	46
8.9	servlet.sql	47
9.1	scale.java	51
9.2	NormalizedFTMatrix.java	52
9.3	CrossCorrelation.java	52
9.4	maxCorrelationCoeficient.java	53

## **SEZNAM PŘÍLOH**

P I.      CD s průvodními materiály

## **PŘÍLOHA P I. CD S PRŮVODNÍMI MATERIÁLY**

Na CD naleznete

- kompletní zdrojové kódy knihovny pro výpočet KoP i KoZ
- veškerá testovací data (především fotografie)
- pomocné projekty (např. analýza v Enterprice Architect)